

Fakultet za fizičku hemiju, Univerzitet u Beogradu  
Master akademske studije, šk. 2021/2022.

PREDMET: Metode i metodologija  
fizičkohemijskih istraživanja (MMFHI)

## Metode i metodologija istraživanja u fizičkoj hemiji materijala

28. novembar 2024.

Prof. dr Gordana Ćirić-Marjanović  
[gordana@ffh.bg.ac.rs](mailto:gordana@ffh.bg.ac.rs)

**Metode** (istraživačke metode) predstavljaju *instrumente, procese, tehnike, pomoću kojih istraživač dobija odnosno sakuplja podatke, tj. konkretna sredstva kojima se vrši istraživanje.*

**Metodologija** u suštini znači *studiju/opis/analizu koji standardi, modeli, obrasci, pravila, principi, uzori, faze, postulati, kao i kvalitativne i/ili kvantitativne tehnike-metode* se primenjuju, ili bi se mogli primeniti ili su bili primenjivani **u određenom istraživanju, u određenoj naučnoj disciplini.**

**Metodologija** je generalna *istraživačka strategija* koja pored ostalog, *identificuje i metode* koje će se koristiti u istraživanju, može se reći da je to **analiza potrebna u dizajniranju istraživanja.**

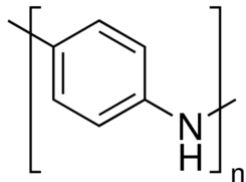
Fizička hemija materijala je disciplina u okviru savremenih nauka o materijalima, koja se bavi dizajniranjem i proizvodnjom novih materijala, njihovim fizičkohemijskim karakteristikama i performansama od značaja za njihove primene. Ova uža naučna oblast fizičke hemije bavi se vezom izmedju načina/uslova/mehanizma sinteze materijala, strukture materijala (molekulske, kristalne, supramolekulske), fizičkohemijskih karakteristika materijala (npr. elektrohemihskih kao što je kapacitansa, teksturalnih kao npr. veličina pora i specifična površina) i efikasnošću-performansama materijala u konkretnim primenama (u elektronici, medicini, konverziji energije, zaštiti životne sredine..).

# Primeri procesa istraživanja, metoda i metodologija istraživanja u oblasti fizičke hemije materijala

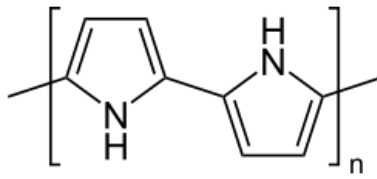
## PRIMERI: polimeri, ugljenični materijali, nanostrukture

### PRIMER 1. PROVODNI POLIMERI

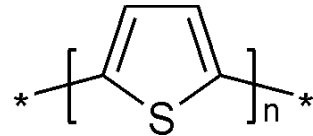
Među sintetičkim polimerima, **elektroprovodni polimeri** (provodni polimeri, konjugovani polimeri) čine posebno interesantnu grupu, a tipični primeri su:



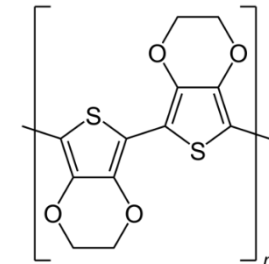
polianilin  
(PANI)



polipirol  
(PPy)



politiofen  
(PT)



poli (3,4-ethylendioksitiofen)  
(PEDOT)

- Provodni polimeri mogu podešavanjem strukture (stanja oksidovanosti i protonovanosti), tzv. dopiranjem, da se dovedu u oblik koji provodi električnu struju (specifična provodljivost najčešće 1-100 S/sm). Osim elektroprovodljivosti, ovi polimeri pokazuju i niz drugih interesantnih svojstava - npr. elektrohromizam, paramagnetizam, redoks aktivnost i dr., koje omogućavaju njihovo korišćenje za različite primene.
- Svrstavaju se u grupu materijala nazvanih **sintetički metali**, zbog električne provodljivosti, a takođe spadaju u **inteligentne materijale**.

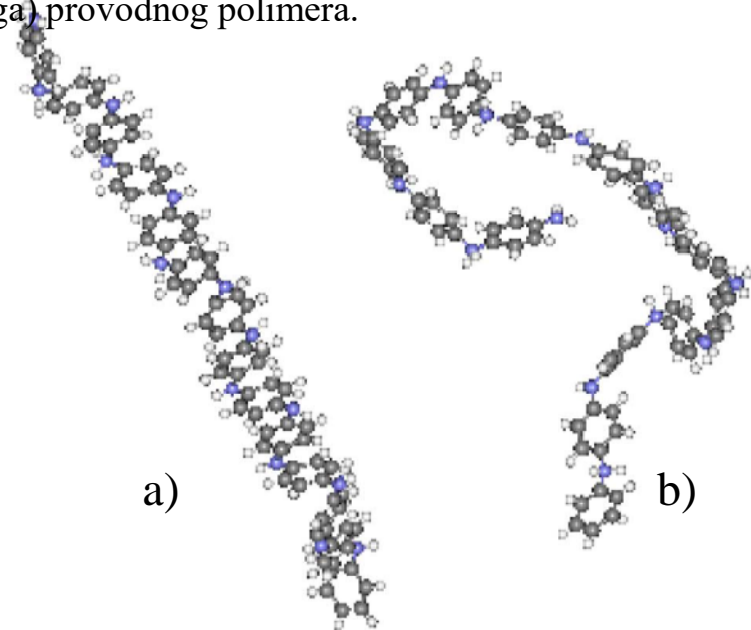
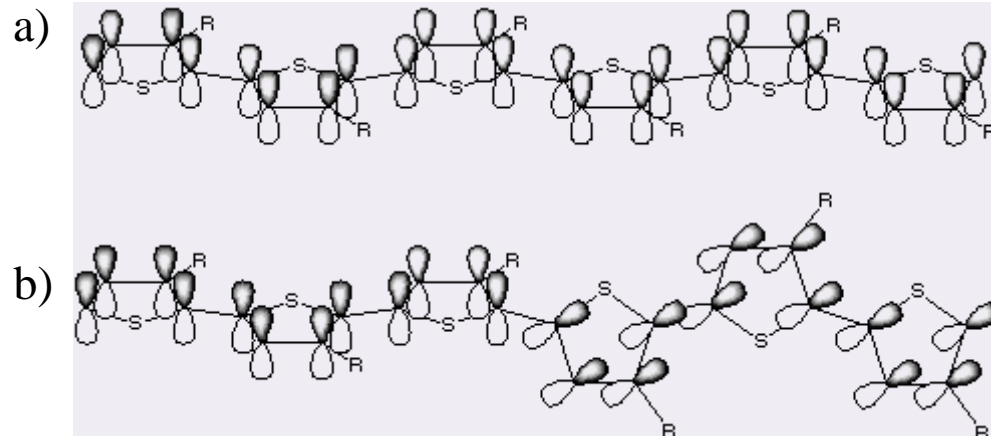
2000. godine Nobelovu nagradu iz hemije primili su Alan J. Heeger, Alan MacDiarmid i Hideki Shirakawa za otkriće i razvoj provodnih polimera

- Provodni polimeri se svrstavaju u **inteligentne materijale** zato što imaju **složenu i dinamičku (promenljivu) strukturu, čijim dizajniranjem/podešavanjem se mogu podešavati i kontrolisati njihova svojstva (hemijska, električna, mehanička), odnosno podešavati njihov odgovor na različite stimuluse (npr. električni stimulus).**
- Pod pojmom **inteligentni materijal** podrazumeva se materijal koji je sposoban da **prepozna spoljašnji stimulus, da obradi informaciju proisteklu iz stimulusa, i da odgovori na nju na odgovarajući način i u odgovarajućem vremenskom okviru**. Osnovno svojstvo koje razlikuje intelligentne od konvencionalnih materijala je njihova **dinamička, promenljiva struktura**.
- Na primer, pod dejstvom **električnog stimulusa** (npr. dovođenjem odgovarajućeg potencijala na elektrodu modifikovanu filmom provodnog polimera), provodni polimer **menja svoje stanje oksidovanosti** (npr. prelazi iz potpuno redukovanih u potpuno oksidovano stanje) i pri tome **menja električnu provodljivost** usled promena u strukturi (npr. od neprovodnog,  $10^{-7}$  S/cm, do provodnog, npr. do ranga provodljivosti metala,  $10^3$  S/cm), što se može iskoristiti za elektronske komponente i senzore, takođe pri tom **menja zapreminu**, kao rezultat kretanja jona iz polimera i u polimer (za ~10%), odnosno **menja svoje fizičke dimenzije** - ovo svojstvo se koristi za **elektromehaničke aktuatorne (veštačke mišiće)**, i **menja boju** – ovo svojstvo se zove **elektrohromizam**, a elektrohromni materijali koriste se za izradu ekrana, pametnih prozora, itd. (oksidi prelaznih metala  $\text{WO}_3$ ,  $\text{NiO}$ ,  $\text{MoO}_3$  itd. su tipični komercijalno primjenjeni elektrohromni materijali)

*2000. godine Nobelovu nagradu iz Hemije dobili su Alan J. Heeger, Alan MacDiarmid, Hideki Shirakawa za otkriće i razvoj provodnih polimera*

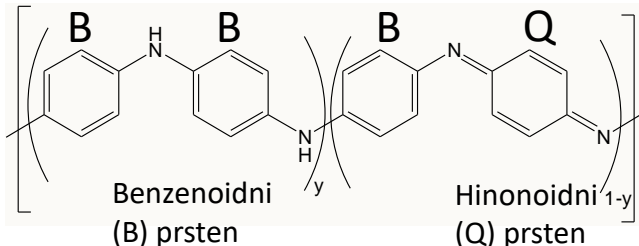
-Provodni polimeri su **specifični organski sistemi** sa produženom  **$\pi$ -elektronskom konjugacijom** koja predstavlja uslov za njihovu **elektronsku provodljivost**, kao i za pojavu niza specifičnih fizičkohemijskih fenomena (električnih, magnetnih, optičkih). Konjugacija se ostvaruje **preklapanjem  $\pi$  orbitala** (primer politiofena sa preklapanjem  $\pi$  orbitala aromatičnih prstenova je na slici ispod) za koje je potrebno da **aromatični prstenovi budu koplanarni**.

-Koplanarnost prstenova u polimernom lancu kao i izdužena konformacija lanca su uslovi za dobru elektroprovodljivost konjugovanog polimera. Metodologijom sinteze (pH, T, dodatak templata, tip dodate kiseline/kontra-jona, molski odnos oksidanta (koji inicira polimerizaciju) i monomera (anilina za PANI) i dr...) može se uticati na strukturu i svojstva (električnu provodljivost i druga) provodnog polimera.



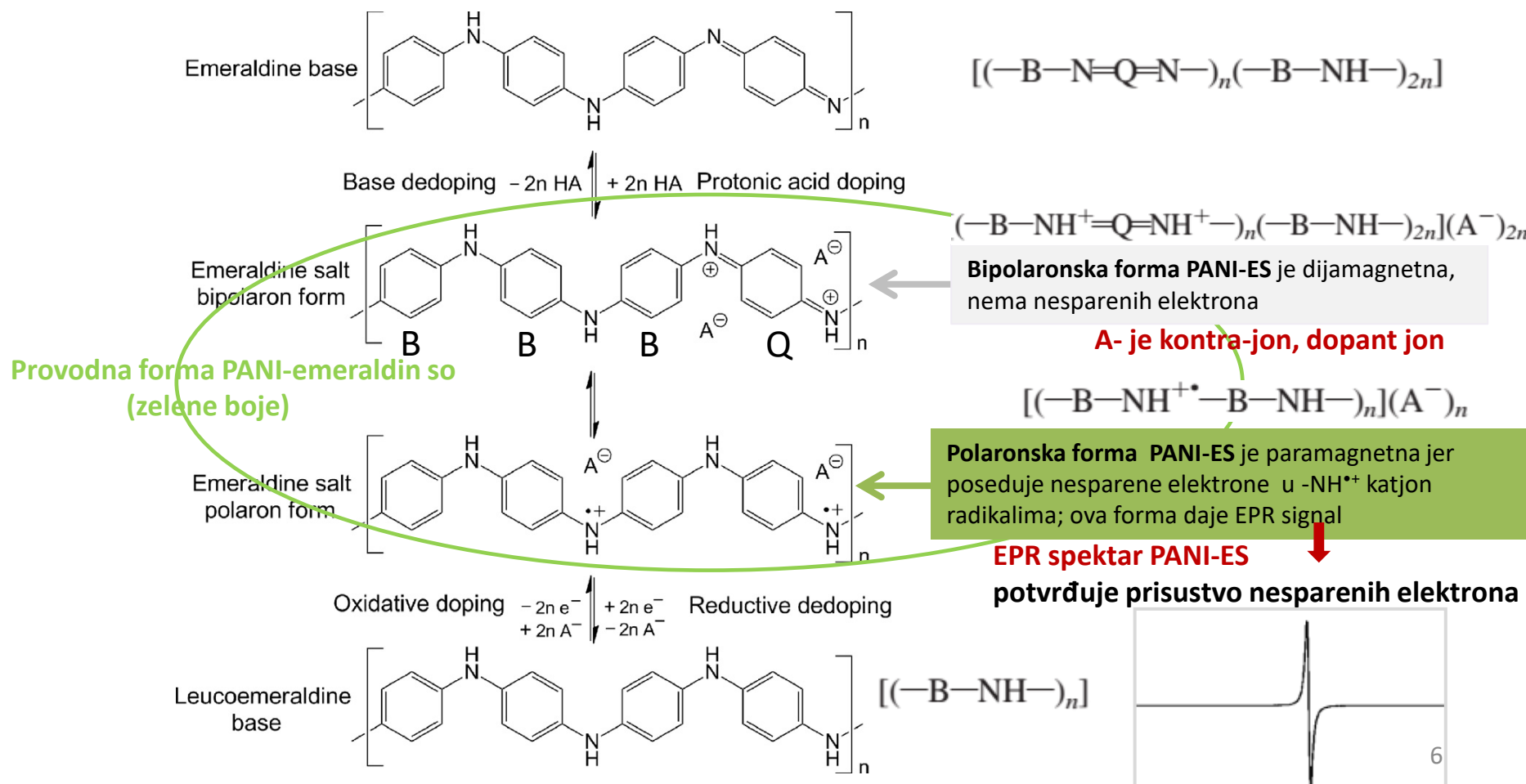
Konjugovane  $\pi$  orbitale kod supstituisanog **politiofena** (levo) i lanac **polianilina** (desno) [J. Molec. Str. 701 (2004) 13-18]; u oba slučaja pod **a**) aromatični prstenovi su **koplanarni**, konformacija polimernog lanca je **izdužena (expanded coil)**, što uslovljava veću dužinu konjugacije i veću električnu provodljivost, dok je konformacija lanca pod **b**) **uvijena (twisted, nasumično klupko)**, koja zbog značajnih torzionih uglova ima smanjenu dužinu konjugacije i manju električnu provodljivost.

**Polianilin (PANI)** je jedan od najproučavанијих provodnih polimera. PANI može da egzistira u velikom broju kiselinsko-baznih i redoks formi od kojih samo jedna, tzv. **emeraldin so (PANI-ES)**, pokazuje visoku električnu oprovodljivost.



$y=0$	potpuno oksidovano stanje – pernigranilin
$y=0,25$	75% oksidovana forma – nigranilin
$y=0,5$	50% oksidovana forma – emeraldin
$y=1$	potpuno redukovano stanje – leukoemeraldin

Opšta formula **baznih formi** PANI - sve ove forme su neprovodne



# UV-Vis spektroskopija

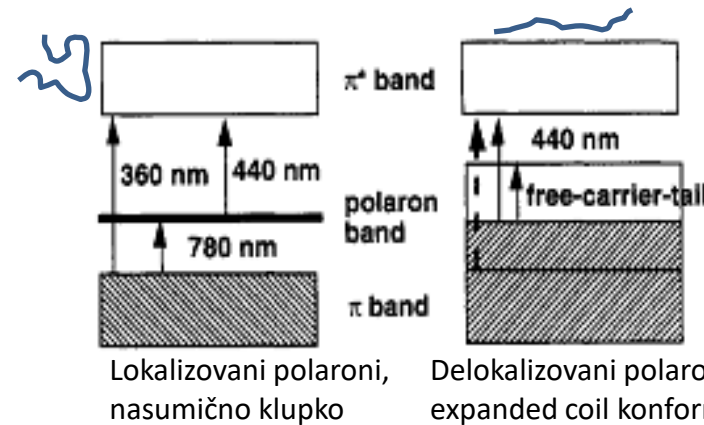
## Primer: provodni polimeri

Apsorpcijom svetlosti u provodnom polimeru dolazi do elektronskog prelaza iz valentne trake (VB) u provodnu traku (CB), što predstavlja  $\pi \rightarrow \pi^*$  prelaz, kao i do prelaza koji uključuju nivoe (polaronske, bipolaronske) u okviru energetskog procepa (band gap). UV-Vis spektroskopija je metoda veoma osetljiva na **oksidaciono stanje, stanje protonovanosti i konformaciju** polimernih lanaca.

### UV-Vis-NIR spektri PANI

Svaka od tipičnih redoks odnosno kiselinsko-baznih formi PANI ima svoj karakteristični **UV-Vis apsorpcioni spektar**.

Tako je UV-Vis spektroskopijom moguće dobiti informacije o **molekulskoj strukturi polimera**, proceniti da li je dobijeni PANI **elektroprovodan ili ne** (korisno u slučajevima rastvora PANI, jer se može dobiti preliminarna informacija o provodljivosti bez izolovanja PANI u formi praha), takodje UV-Vis-NIR može dati informaciju o **konformaciji** polimernog lanca (nasumično ili izduženo klupko).



**Emeraldin so** – UV-Vis-NIR spektri tipa a) i b) na slici ispod

**Nasumično klupko (spektar b):**

- ~330 nm  $\pi \rightarrow \pi^*$  prelaz
- ~440 nm polaron  $\rightarrow \pi^*$  prelaz
- ~780–900 nm  $\pi \rightarrow$  polaron prelaz

**Izduženo klupko (spektar a)**

- ~330 nm  $\pi \rightarrow \pi^*$
- ~440 nm polaron  $\rightarrow \pi^*$
- „free-carrier tail“ u NIR oblasti 1000–2500 nm,  $\pi \rightarrow$  polaron

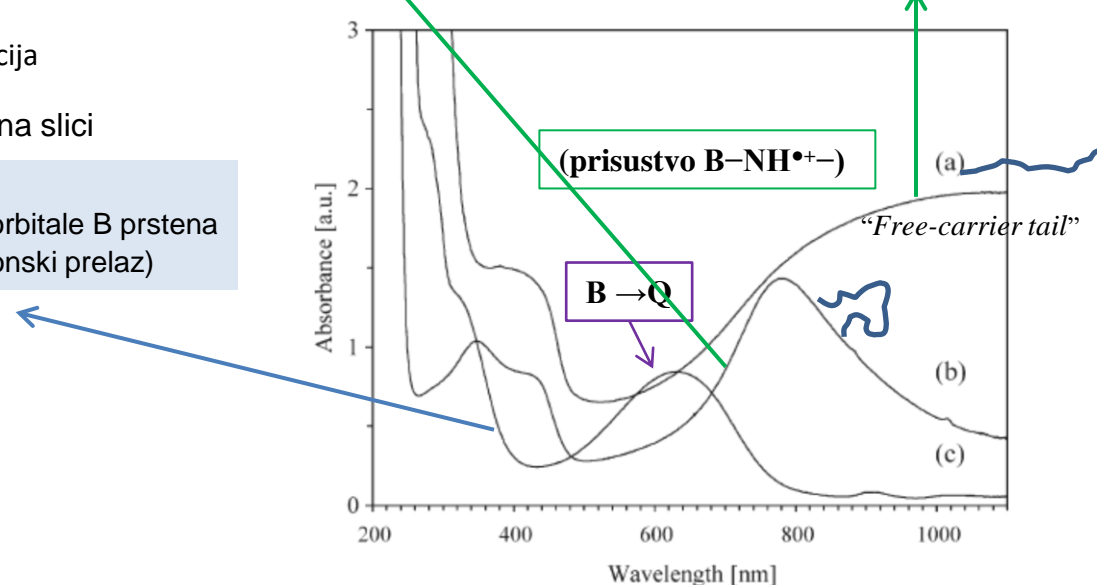
delokalizacija polarona  $\rightarrow$  velika provodljivost

### Emeraldin baza - spektar tipa (c) na slici

~320 nm  $\pi \rightarrow \pi^*$  prelaz  
~620 nm intramolekulski transfer elektrona iz HOMO orbitalne B prstene na LUMO orbitalu susednog Q prstena (**B  $\rightarrow$  Q**, ekscitonski prelaz)

Pernigranilin baza  
~320 nm  $\pi \rightarrow \pi^*$   
~530 nm <sup>a</sup>Peierls gap

<sup>a</sup>Distorzija periodičnosti rešetke 1-D kristala  
(promene u dužini veze, promene torzionih uglova)

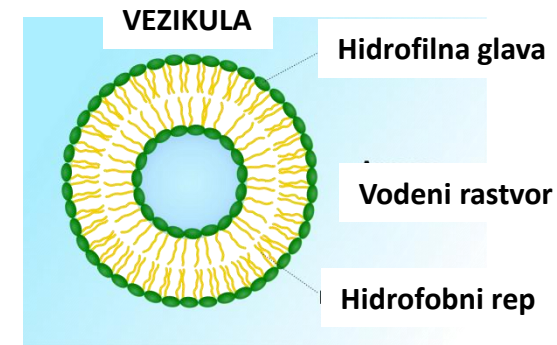
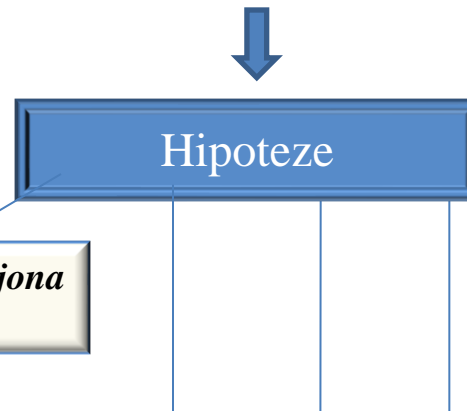


## Definisanje/izbor naučnog problema kome se posvećujemo

(na osnovu prethodnog pregleda literature, uvida u postojeća znanja u oblasti, procene značaja i aktualnosti tematike)

Jedan od problema kod provodnih polimera (PP) je njihova generalno **slaba rastvorljivost, posebno provodne forme, u uobičajenim rastvaračima**- to ograničava mogućnost procesiranja i primene PP

Kako prevazići taj nedostatak, a pri tome zadržati dobru električnu provodljivost ?



2. Napraviti stabilan **koloid PP** -uvodenjem stabilizatora, ili nekog template (npr. koloidne disperzije vezikula ) na kome će se formirati tanki film PP i pri tom neće doći do taloženja, koloidna disperzija PP će biti stabilna

3. Smanjenjem veličine čestica polimera (**nanočestični PP**) mogla bi se postići bolja disperzivnost PP

4. Uvođenje odgovarajuće **funkcionalne grupe** (supstituenta, npr.  $-SO_3H$ , ili bočnog kratkog lanca) u lanac PP dovešće do povećanja rastvorljivosti PP

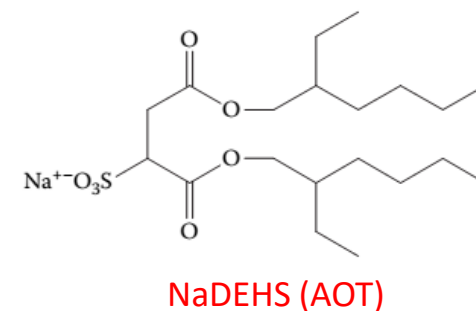
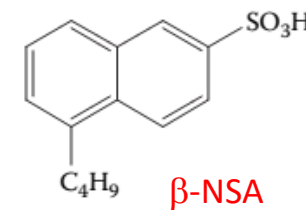
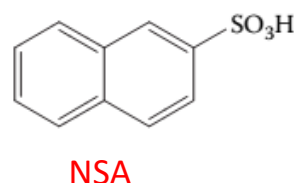
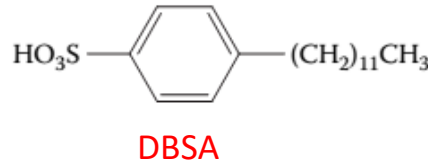
**1. Hipoteza:** Uvođenjem specifičnih kontra-jona, dopant-anjona  $A^-$  (npr. surfaktantskih karakteristika), koji se vezuju za polikatjonske polimerne lance (backbone) da bi se održala elektroneutralnost sistema, poboljšaće se rastvorljivost provodnog polimera



Hipoteza je potvrđena na većem broju primera:

-**dodecilbenzensulfonat** kao dopant anjon iz dodecilbenzensulfonske kiseline (DBSA), sa surfaktantskim karakteristikama, dovodi do dobre rastvorljivosti polipirola (PPy) u nekim organskim rastvaračima (m-krezolu, hloroformu, dihlorometanu); film PPy izliven iz rastvora hloroforma pokazuje provodljivost 5 S/cm; prepostavlja se da *je povećanje rastvorljivosti izazvano dugolančanom dodecil grupom ( $C_{12}H_{25}$ ) iz DBSA koja smanjuje međusobne privlačne interakcije susednih PPy lanaca i, sa druge strane, pomaže solvataciju PPy lanaca organskim rastvaračima* (Synth. Met. 74 (1995) 103). Za dobру rastvorljivost polimera bitno je da postoji pogodan rastvarač; takav da interakcije polimer-rastvarač nadvladaju interakcije polimer-polimer.

-dobra rastvorljivost PPy u *m*-krezolu,  $CHCl_3$ , DMSO i NMP je postignuta i sa drugim kontra-jonima, anjonima sulfonskih kiselina ( **$\beta$ -naftalensulfonske kiseline (NSA)**, **5-butilnaftalensulfonske kiseline (BNSA)** itd.) sa surfaktantskim svojstvima.



-prvi put je postignuta dobra rastvorljivost PPy u **alkoholu** korišćenjem **Na soli di (2-etylheksil) sulfosukcinata (NaDEHS, AOT)** kao dopanta; AOT sadrži *nepolarne alkil lance i polarne kiseonične centre koji najverovatnije formiraju vodonične veze sa molekulima alkohola* olakšavajući rastvaranje PPy (Synth. Met. 119 (2001) 107).

**2. Hipoteza:** Napraviti stabilan koloid PP - uvodjenjem sternih stabilizatora ili templata tako da neće dolaziti do spajanja čestica u veće (aglomeracije) i taloženja i dobiće se stabilna koloidna disperzija PP

### Hipoteza je potvrđena na većem broju primera:

Oksidacija monomera pirola (Py) sa  $\text{FeCl}_3$  kao oksidacionim sredstvom u prisustvu vodorastvornih **sternih stabilizatora**:

- metilceluloze
- polivinilalkohola (PVA)
- poli(etilenoksida) (PEO)
- poli(vinilpiridina) (PVP)
- katjonskih i anjonskih polielektrolita

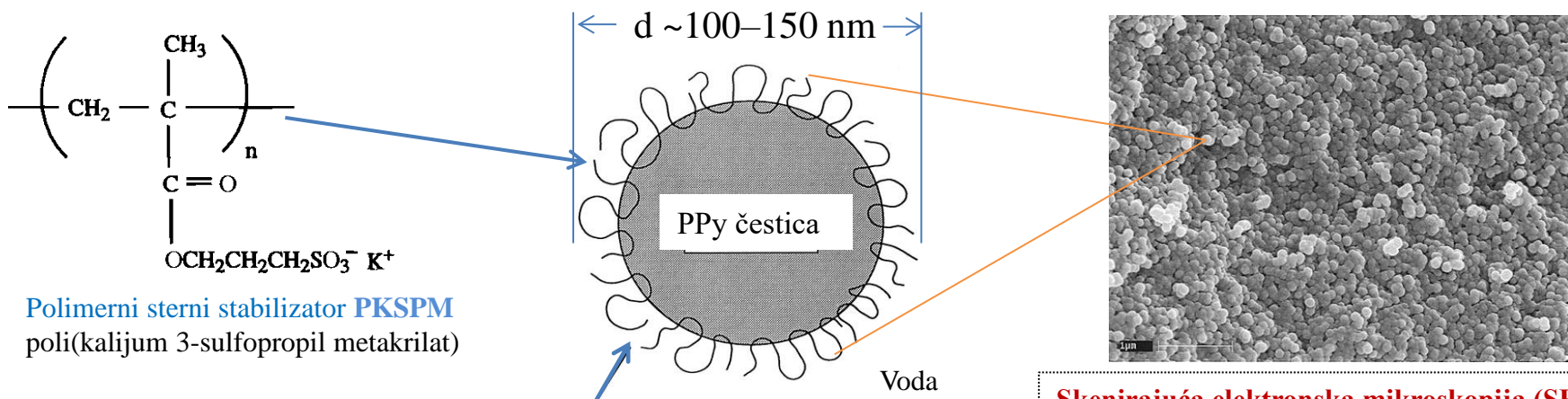
vodila je dobijanju **stabilnih koloida polipirola (PPy)**.

*J. Chem. Soc., Chem. Commun.* 1987, 288.

→ *Langmuir* 1996, 12: 1784.

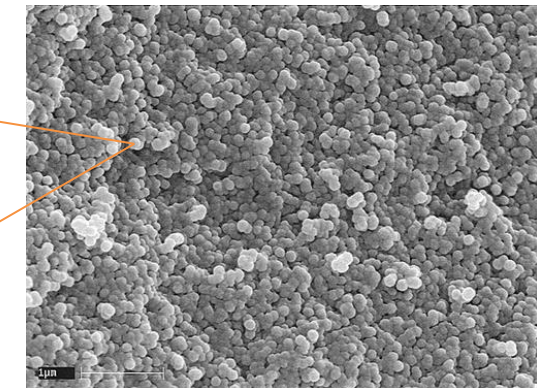
-Pokazano je da veličina koloidnih čestica PPy zavisi od **molarne mase i prirode stabilizatora, koncentracije i tipa oksidacionog sredstva**.

-Zbog izolatorske prirode stabilizatora električna provodljivost ovako dobijenog PPy iz koloida je manja u odnosu na standardno sintetisan, istaloženi PPy.



Polimerni steni stabilizator PKSPM  
poli(kalijum 3-sulfopropil metakrilat)

Adsorbovani spoljni sloj **polimernog sternog stabilizatora** (npr. PKSPM) **sprečava slepljivanje-aglomeraciju čestica PPy u veće čestice i njihovo taloženje**



**Skenirajuća elektronska mikroskopija (SEM)  
PKSPM-om stabilisanih čestica PPy**  
(Slika preuzeta/adaptirana sa dozvolom iz *Langmuir* 12 (1996) 1784, Copyright 1996, ACS).

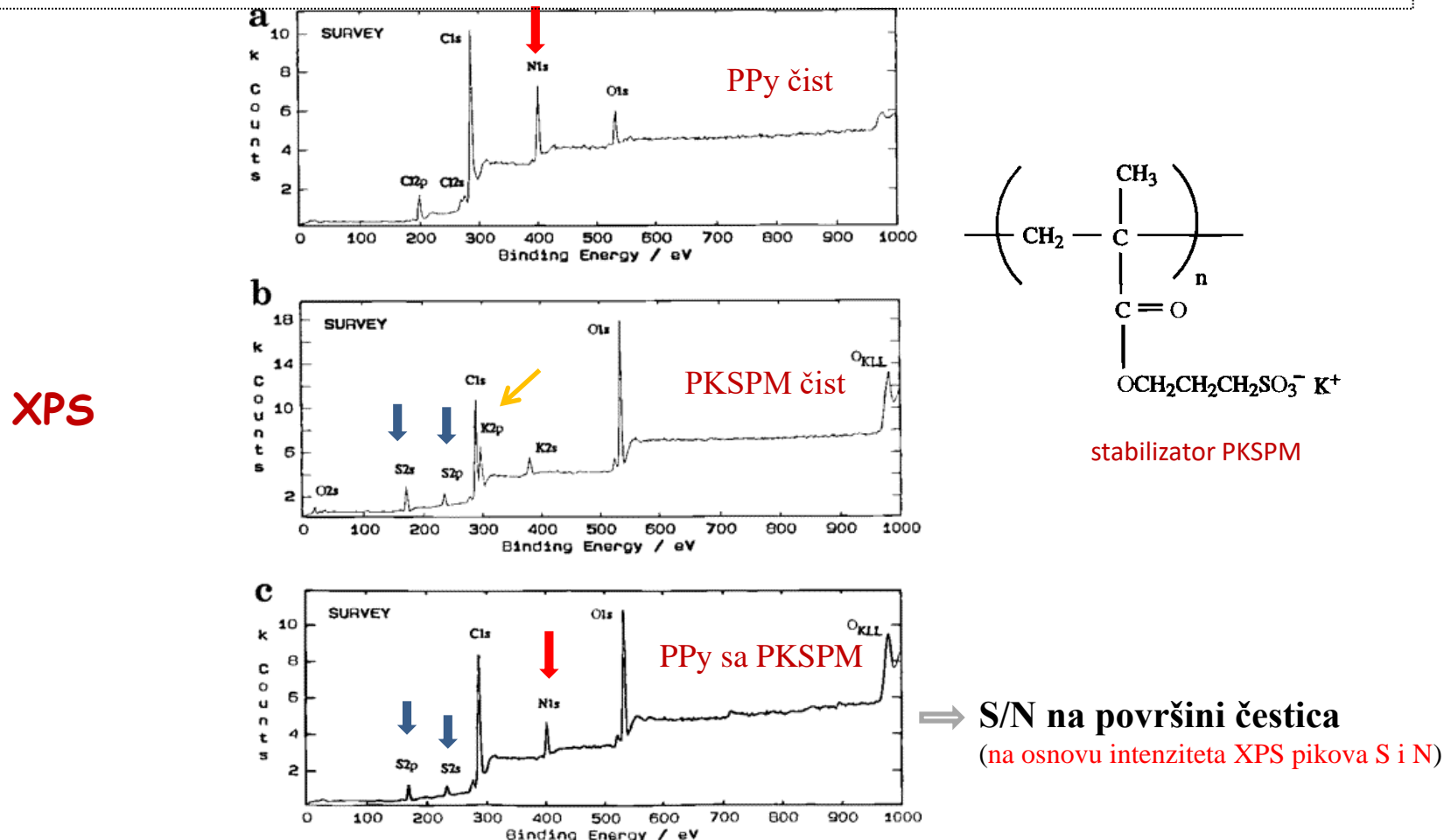
**SEM** je metoda koja omogućava određivanje **oblika čestica, dimenzija čestica** (ovde na slici čestice su sferne sa prečnikom d ~100–150 nm) i **raspodele veličine čestica** u čvrstim (praškastim) materijalima. Slika površine uzorka proizvodi se skeniranjem površine fokusiranim snopom elektrona.

Metodologija pripreme materijala za SEM snimanje kod neprovodnih-slabo provodnih materijala, kvalitetnih slika uobičajeno uključuje prethodno naparavanje tankim provodnim filmom metala (Au, Cu) posebnim aparatom (sputter coater).

-Površinski sastav sterno-stabilisane koloidne čestice PPy određen je **rendgenskom fotoelektronskom spektroskopijom (X-ray photoelectron spectroscopy, XPS)** [Langmuir 12 (1996) 1784]. Atomi **S** iz polielektrolita-stabilizatora poli(kalijum 3-sulfopropil metakrilata), **PKSPM**, i atomi **N** iz PPy su korišćeni kao **element-markeri** svake komponente, PKSPM i PPy, respektivno.

-Atomski odnos **S/N na površini** koloidne čestice određen pomoću XPS bio je **znatno veći od odgovarajućeg 'makroskopskog' S/N** atomskog odnosa izračunatog na osnovu **klasične elementarne mikroanalize** ('bulk' elementarni sastav). To je bio **dokaz da se na površini čestice provodnog polimera PPy nalazi sloj polimernog stabilizatora PKSPM**.

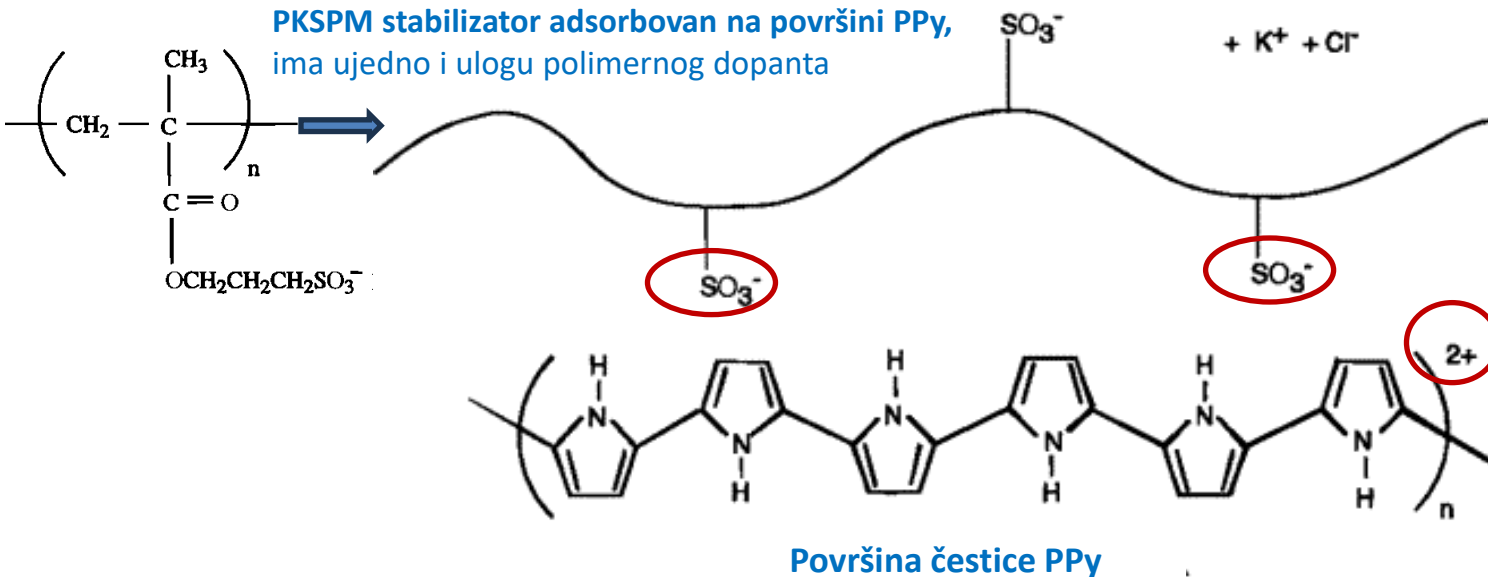
- XPS je jedna od najpoznatijih metoda za karakterizaciju površine materijala, kojom se analizira sastav površine materijala (polimera, ugljeničnih, kompozitnih i drugih materijala).



**XPS spektri** za (a) PPy bulk-praškasti uzorak, (b) PKSPM stabilizator, i (c) PKSPM-stabilisan PPy. Primetiti da u spektru a) nema pika sumpora, a u spektru b) nema pika azota [Slika preuzeta/adaptirana sa dozvolom iz Langmuir 12 (1996)1784, Copyright 1996, American Chemical Society]. 11

**(Sub)hipoteza:** Sulfonatne grupe  $\text{SO}_3^-$  iz PKSPM stabilizatora imaju ulogu dopant anjona (kontra-jona) za polikatjonske lance PPy. To znači da je pozitivno nanelektrisanje sa lanca pPy kompenzovano negativnim nanelektrisanjem  $\text{SO}_3^-$  sa PKSPM.

Ako je to tako, onda se može očekivati značajno smanjenje površinske koncentracije kalijumovih jona. Analizom K 2p core-line XPS spektara ova hipoteza je potvrđena. Kalijumov 2p pik, koji se javlja na 292.9 eV u spektru stabilizatora PKSPM (prethodni slajd, žuta strelica kod XPS spektra PKSPM), potpuno je nestao u odgovarajućem spektru koloida PPy stabilisanog sa PKSPM. Zaključeno je da XPS podaci daju jaku indikaciju da **PKSPM stabilizator deluje kao polimerni dopant (polianjon)** na površini PPy čestica (koje su polikatjonske), uz istovremeno istiskivanje (izbacivanje)  $\text{K}^+$  i  $\text{Cl}^-$  jona ( $\text{Cl}^-$  su konkurenčni anioni PKSPM anionima, i poreklom su iz HCl u kojoj je bio sintetisan PPy). Tako je zaključeno da postoji direktna elektrostatička interakcija (Kulonova) između stabilizatora PKSPM (kao polianiona) i površine polikatjonske čestice PPy (slika ispod).



Shematska ilustracija površinske interakcije između PKSPM stabilizatora i čestica polipirola (PPy).

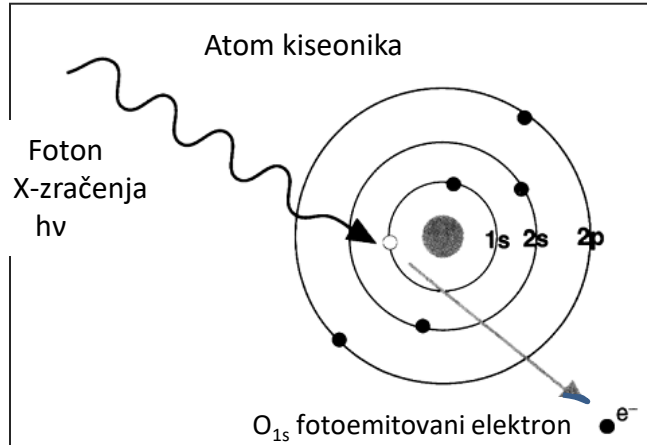
Polielektrolitski stabilizator deluje kao **polimerni dopant anjon** za polikatjonski lanac PPy, zbog čega dolazi do istiskivanja (expulsion)  $\text{K}^+$  jona i  $\text{Cl}^-$  kontra-jona [Slika preuzeta/adaptirana sa dozvolom iz Langmuir 12 (1996)1784, Copyright 1996, American Chemical Society].

# Rendgenska fotoelektronska spektroskopija (XPS)

(drugi naziv je ESCA-Electron Spectroscopy for Chemical Analysis)

- Osnov metode:

Fotoelektrični efekat (A. Einstein, Nobelova nagrada 1921.), Fotoemisija kao analitičko sredstvo (Kai Siegbahn, Nobelova nagrada 1981.)

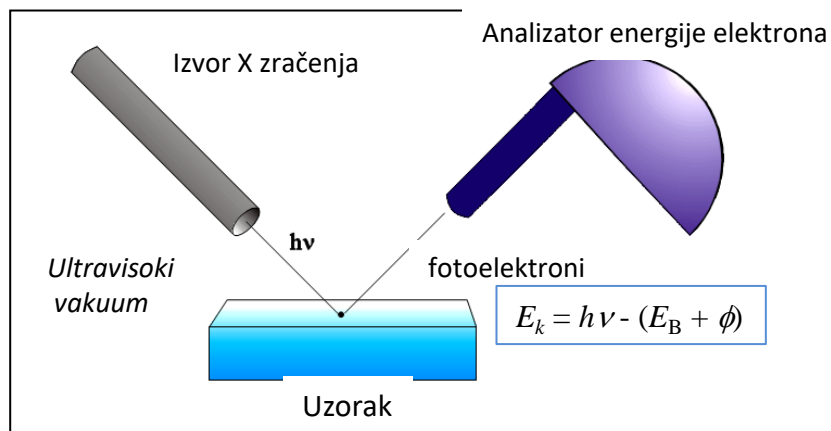


XPS tehnika je zasnovana na izbacivanju elektrona iz unutrašnjih ljski (koje su blizu jezgra) pod dejstvom monohromatskog X zračenja. Izbačeni (emitovani) elektroni su **fotoelektroni**, a ovaj proces izbacivanja elektrona je **fotoemisija**. **Fotoelektroni se detektuju, mjeri se njihova kinetička energija  $E_k$  i određuje se energija veze  $E_B$  elektrona u atomu elementa ispitivanog materijala - to je osnov XPS metode.**

$$E_k = h\nu - (E_B + \phi)$$

izbačenog fotoelektrona      Energija vezivanja elektrona      Izlazni rad elektrona

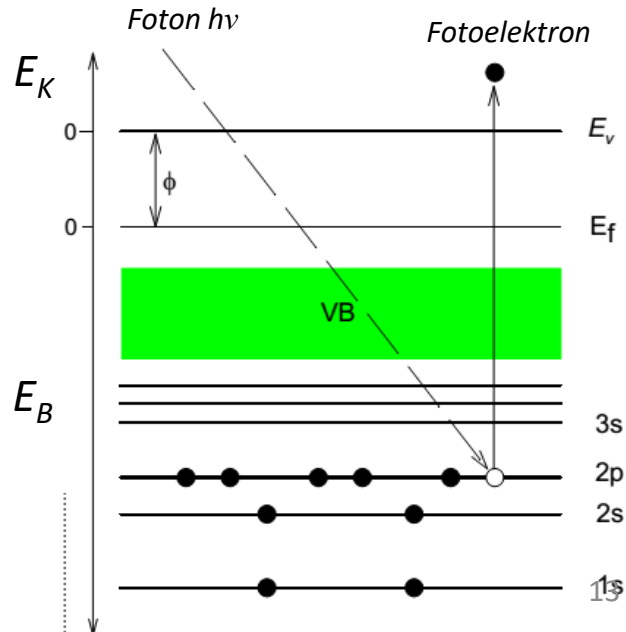
$E_k$  emitovanog elektrona zavisi od  $E_B$  tj. od toga kojoj ljesci je elektron pripadao



**XPS spektar:** intenzitet (broj detektovanih) fotoelektrona prema  $E_B$  ili  $E_K$

**XPS je metoda površinske hemijske analize** koja omogućava:

- Identifikaciju elemenata i određivanje hemijskog stanja elemenata na površini
- određivanje relativnog sastava elemenata u površinskom sloju materijala (debljine 0,5-10 nm) jer se fotoelektroni emituju sa površinskih slojeva do dubine ~10 nm



Energije veze  $E_B$  unutrašnjih (core level) elektrona u elektron voltima (eV) izmerene metodom XPS

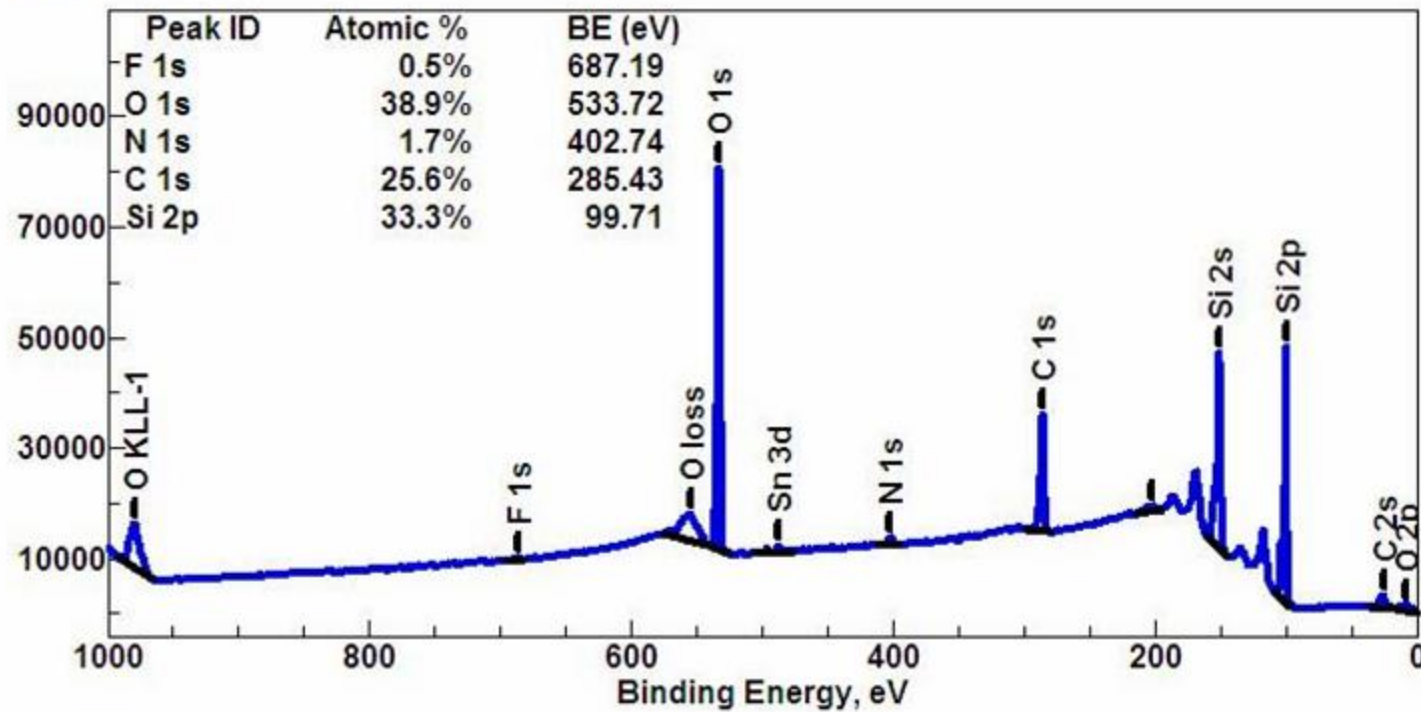
Element	1s	2s	2p	3s	3p	4s
B	188					
C	284					
N	399					
O	532	24				
F	686	31				
Si		149	100			
S		229	165			
Cl		270	202			
Ge		1249	1217	181	129	
Br				232	168	27

- Energija veze elektrona  $E_B$  je energija koju je potrebno utrošiti da bi se elektron **izbacio iz date ljuske**.
- $E_B$  je karakteristična za **tip atoma** u kome je elektron bio vezan (specifična za dati elektron u datom elementu).
- **Merenje  $E_B$  omogućava kvalitativnu elementalnu analizu pomoću XPS (položaj pika)**
- **Broj fotoelektrona emitovanih sa određenog elektronskog nivoa je intenzitet fotoemisije**, čije merenje omogućava **kvantitativnu elementalnu analizu metodom XPS (intenzitet pika)**.
- $E_B$  je osetljiva na hemijsko okruženje datog elektrona (fino pomeranje  $E_B$ ), tako da to omogućava **identifikaciju različitih funkcionalnih grupa koje sadrže dati element, odnosno određivanje hemijskog stanja pojedinog elementa** (npr. za azot u okviru hinonoidne imino grupe  $=N-$  ili za azot u  $-NH-$  grupi vezanoj za benzenovo jezgro  $E_B$  će imati različite  $E_B$  vrednosti). Da bi se odredio **sadržaj pojedinih funkcionalnih grupa** datog elementa radi se **dekonvolucija** glavnog pika elementa (npr. pika N 1s elektrona)

## Tipičan XPS spektar

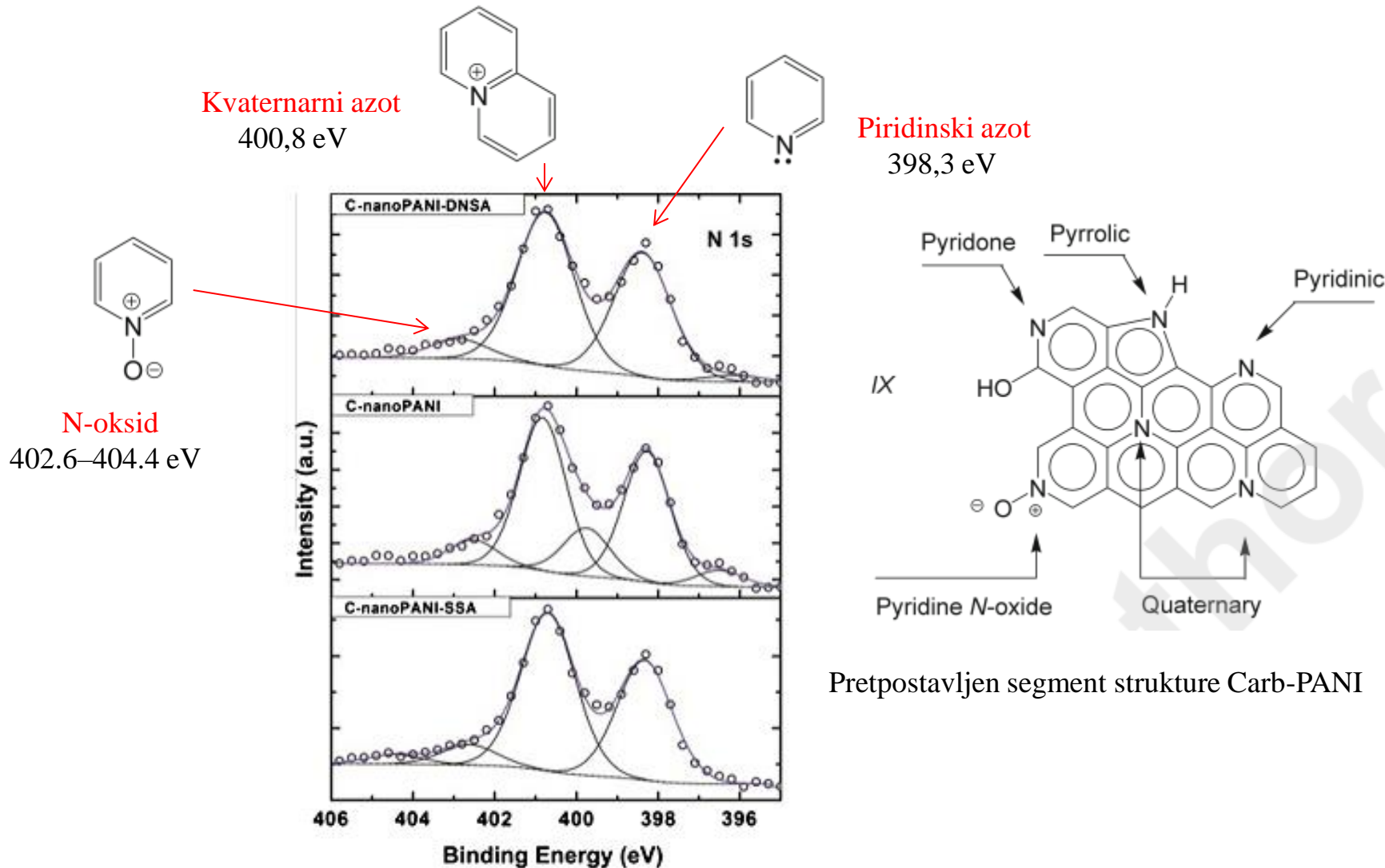
Intenzitet (broj detektovanih elektrona) u zavisnosti od  $E_B$  detektovanih elektrona

Intenzitet/  
Counts



XPS detektuje sve elemente sa rednim brojem **Z većim ili jednakim 3** (ne mogu se detektovati samo H i He).

## Dekonvolucija XPS pika N1s za nekoliko karbonizovanih PANI (Carb-PANI)



Hemiska stanja N atoma, sa EB vrednostima **398,3, 400,8 eV**, i u opsegu **402,6–404,4 eV**, odgovaraju **piridinskom** azotu (N-6), **kvaternarnom** azotu (N-Q), i razlicitim **N-oksidnim vrstama** (N<sup>+</sup>-O), respektivno.

**3. Hipoteza:** Smanjenjem veličine čestica polimera (sinteza nanočestičnog PP) postići će se bolja disperzivnost PP

Nanočestica je čestica koja ima bar jednu dimenziju manju od 100 nm.

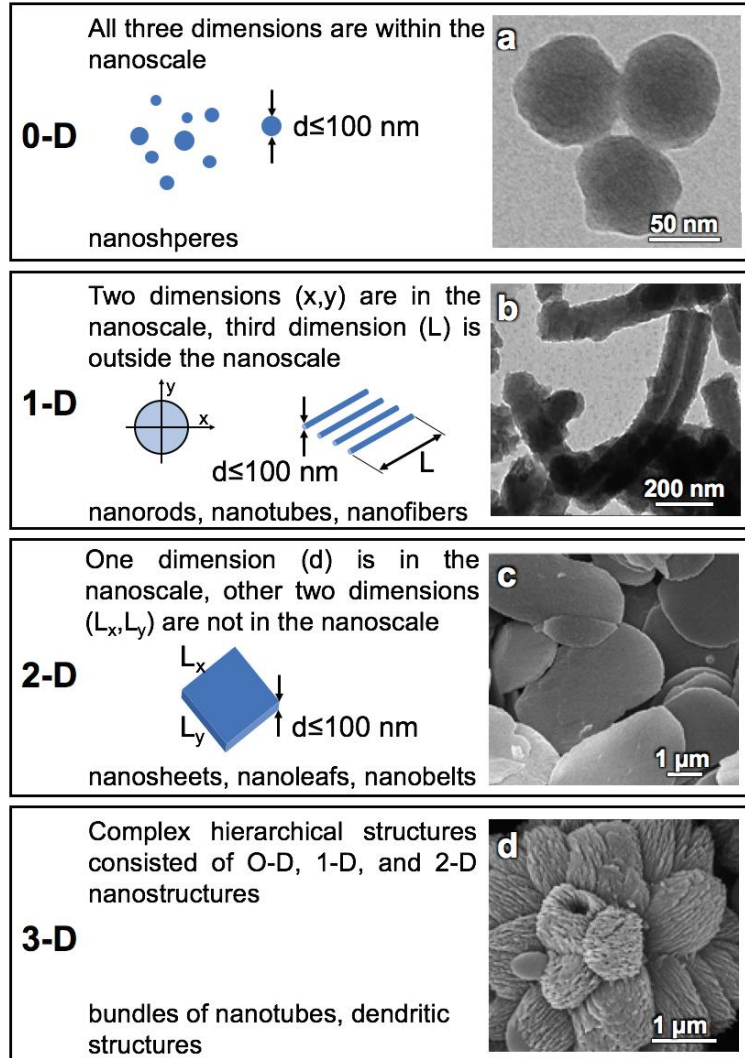
Podela nanočestica (nanostruktura):

**0-D-nanostrukture:** pune nanosfere

**1-D nanostrukture:** nanotube (nanotubes), nanoštapići (nanorods), nanovlakna (nanofibers), nanoigle, ...

**2-D nanostrukture:** nanolistovi (nanosheets), nanotrake (nanobelts)

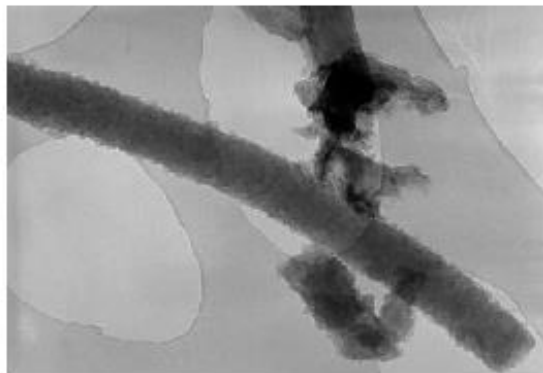
**3-D nanostrukture:** šuplje nanosfere, dendritske strukture, poliedarske nanočestice, oblika cveta, zvezde itd.



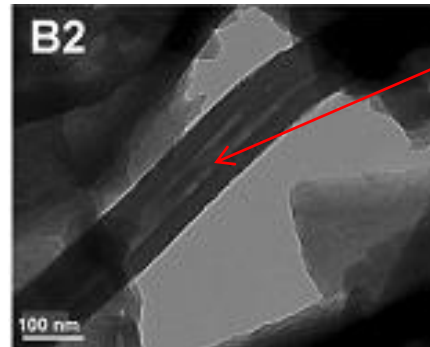
Slika preuzeta iz G. Ćirić-Marjanović, Nanostructures of electro-conducting polymers and carbon nanomaterials produced by their carbonization , chapter in “Fascinating world of nanoscience and nanotechnology”, Ed. V. Radmilović and J. Th. M. Dehosson, 2020, 123-154, Serbian Academy of Science and Arts

**1-D nanostrukture** - Nanoštapići, nanovlakna i nanotube su najčešće cilindrične nanočestice čiji je prečnik  $<100$  nm. Nanotube imaju unutrašnju šupljinu (cev) koju nanoštapići i nanovlakna nemaju. Nanoštapić je kraći i prav, dok je nanovlakno generalno zakrivljenije i duže, može imati dužinu i nekoliko mikrometara.

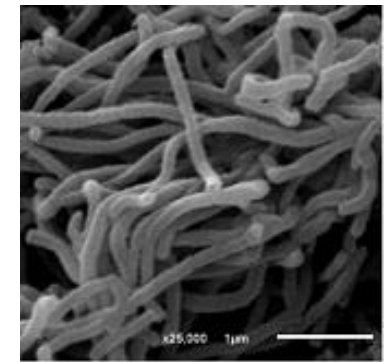
**Transmisiona elektronska mikroskopija (TEM)**: za određivanje **oblika i veličine** čestica; ima prednost u odnosu na SEM jer se **može detektovati šupljina u čestici** (npr. svetlijii kanal na slici b) je šupljina, kanal unutar nanotube).



a)  
PANI nanoštapić



b)  
PANI nanotuba  
TEM



c)  
PANI nanovlakna  
SEM

Postoji veliki broj **metoda i postupaka za dobijanje nanočestica** provodnih polimera:

- metode sa templatom
- metode bez templata

**Templat** je supstancija pogodne strukture, teksturalnih (oblik i veličina pora..) i drugih svojstava, čijim se dodatkom sistemu za sintezu materijala diktira/usmerava rast (nano)čestica finalnog materijala (npr. polimera) i podešava njihov oblik (nastao organizacijom u odredjene supramolekulske strukture npr. štapiće, vlakna, pločice ili tube), veličina čestica a često i molekulsa struktura.

### Metode za dobijanje PANI nanovlakana

**1. Fizičke metode:** electrospinning, ultrazvučni tretman

**2. Hemijska oksidativna polimerizacija anilina**

#### 2.1. metode sa templatom

2.1.1. tvrdi templati: nanoporozni tvrdi templati, nanostrukturno seme kao templat (seeding metod)

2.1.2. meki templati: oligomerni (npr. dimeri i oligomeri anilina), polimerni, surfaktanti (natrijum dodecilsulfat), amfifilne kiseline (azobenzensulfonska kis.)

#### 2.2. metode bez templata

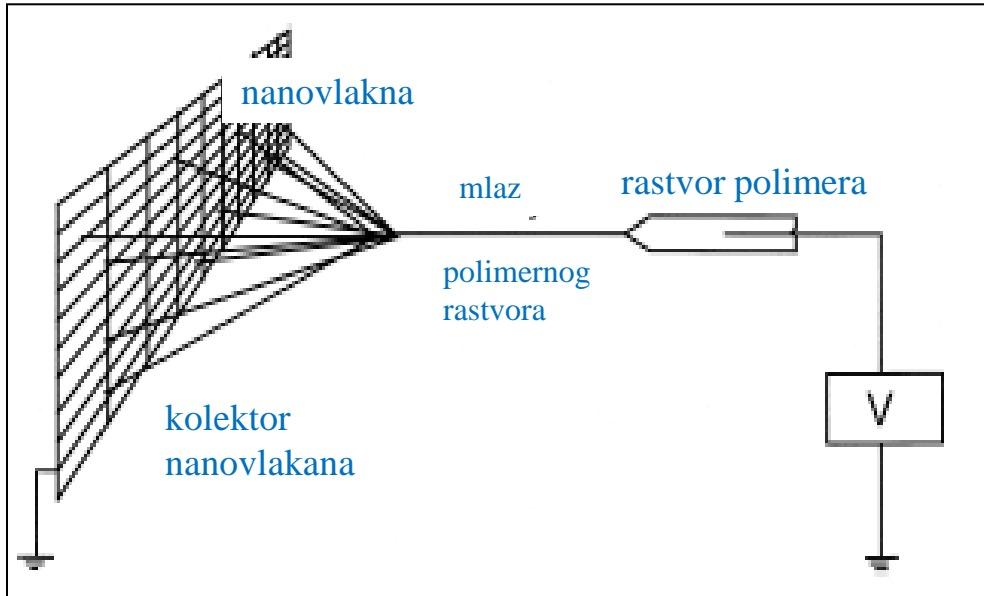
2.2.1. metod bez mućkanja- bez mešanja (not shaken-not-stirred); mešanje vodi agregaciji PANI čestica; sporio ukapavanje rastvora oksidacionog sredstva u rastvor anilina

2.2.2. polimerizacija na granici vodene i organske faze (aqueous/organic interfacial polymerization)

2.2.3. brzo mešanje; brza potrošnja reaktanata (anilina i APSA) u toku primarnog rasta nanovlakana, sav oksidant potrošen je u toku stvaranja nanovlakana, čime je sprečen sekundarni rast PANI.

**3. Elektrohemijijska oksidativna polimerizacija anilina** (ciklovoltametrijski: anilin, HCl, templat-elektroda od anodnog aluminijum oksida, AAO)

**1. Electrospinning:** elektrostatički metod koji koristi **električno polje visokog napona** da bi se formirala čvrsta polimerna vlakna iz polimernog fluida (npr. rastvora PANI ili rastopa blende PANI i nekog drugog topljivog polimera, npr. poli(etilenoksida)], koji se dostavlja preko kapilare prečnika ~ 1 mm. Pozitivni potencijal primenjuje se na rastvor ili blendu polimera preko metalne elektrode koja je uronjena u pipetu sa rastvorom. Nanovlakna se mogu dobiti direktno na željenom supstratu (npr. bakarna ploča koja služi kao katoda-kolektor). Kada se dostigne kritična vrednost napona, pozitivno nadelektrisanje polimera u kapi prevaziđa površinski napon i nastaje mlaz polimernog rastvora koji putuje veoma kratko ka katodi pri čemu rastvarač isparava. Potencijalna razlika ~25 kV, razmak između katode i anode 5-30 cm.



Shematski prikaz elektrospinning metode za dobijanje nanovlakana polimera.

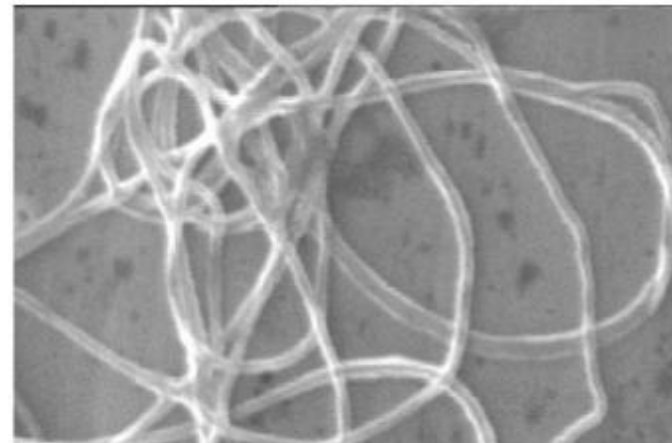
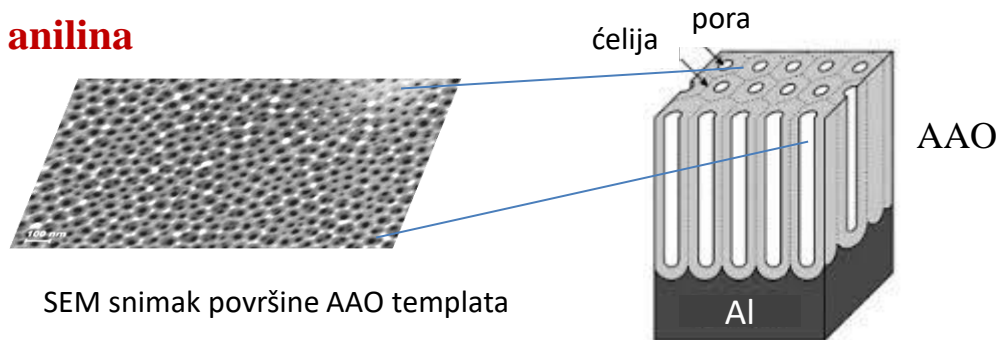
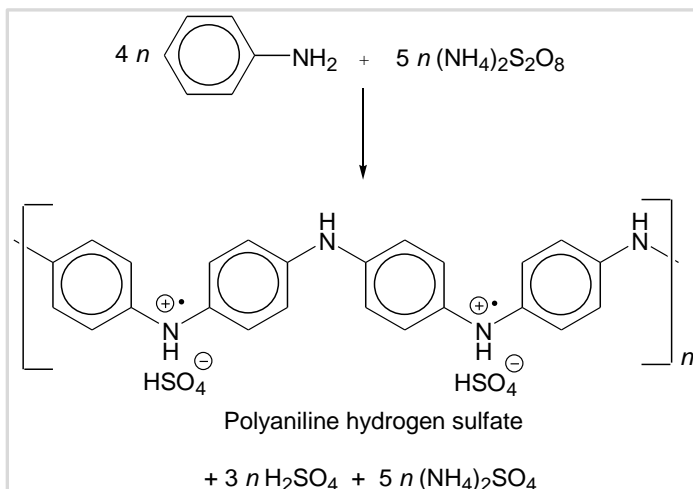


Figure 3. 100% polyaniline fiber with an average diameter of 139 nm.

Norris et al. Synth. Met. 114 (2000) 109.  
MacDiarmid et al. Synth. Met. 119 (2001) 27

## 2. Hemijska oksidativna polimerizacija anilina

### 2.1. metode sa templatom



#### 2.1.1. Tvrdi templatni:

##### Nanoporzni tvrdi templatni:

-heksagonalni kanali širine 3 nm **alumosilikata MCM-41** (primer postupka: najpre adsorpcija pare anilina na dehidratisanom MCM-41, a zatim reakcija sa oksidacionim sredstvom, peroksidisulfatom, koji oksiduje monomer anilin do PANI)

- **anodni aluminijum oksid (AAO)**, slika iznad: **polimerizacija se desava u porama templatna, nastali polimer zadržava oblik pora templatna**

- **polikarbonatne membrane**

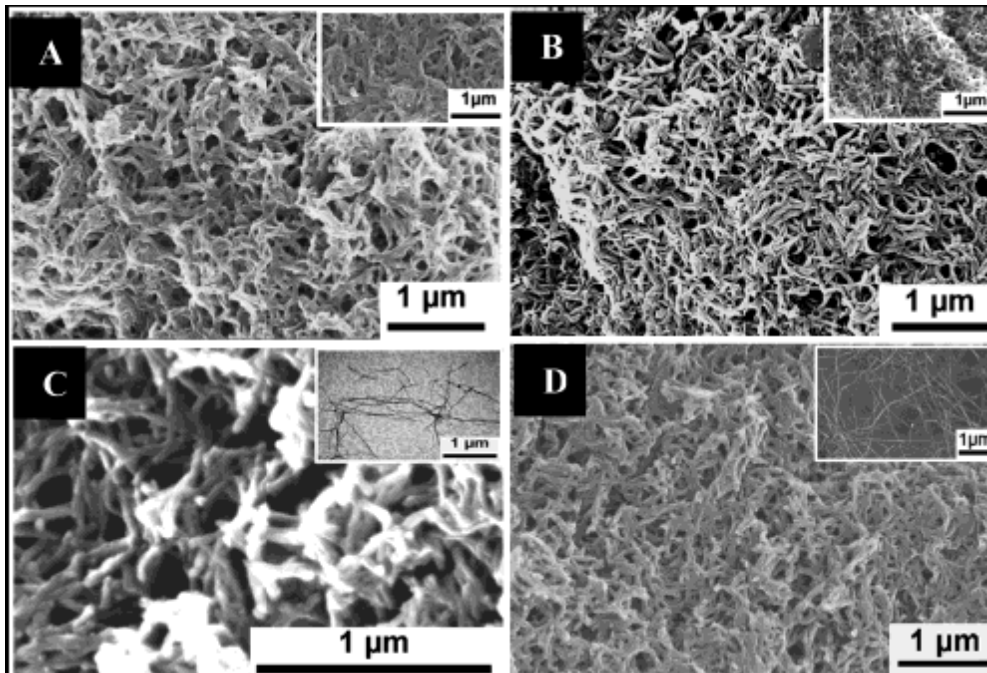
Nedostatak metoda sa tvrdim templatom: relativno zahtevni post-sintetički procesi uklanjanja templatna (npr. jakom kiselinom), u toku kojih može doći do destrukcije nanostruktura i/ili formiranja nepoželjnih agregata nakon uklanjanja templatna.

##### Nanostruktorno seme:

-dodaje se vrlo mala količina (**1 %**) **nanovlakana** (organskih, neorganskih) **ili ugljeničnih nanotuba** (SWNT) u reakcionu smeš pri uobičajenoj hem. oksidativnoj polimerizaciji anilina, koja služe kao seme- klica za rast nanovlakana provodnog polimera, oblik čestica nastalog polimera imitira/preslikava oblik čestica templatna-nanostruktturnog semena (nanostructured seed).

## Nanostrukturno seme kao templat kod dobijanja PANI nanovlakna (nanostructured seed template method)

PANI nanovlakna

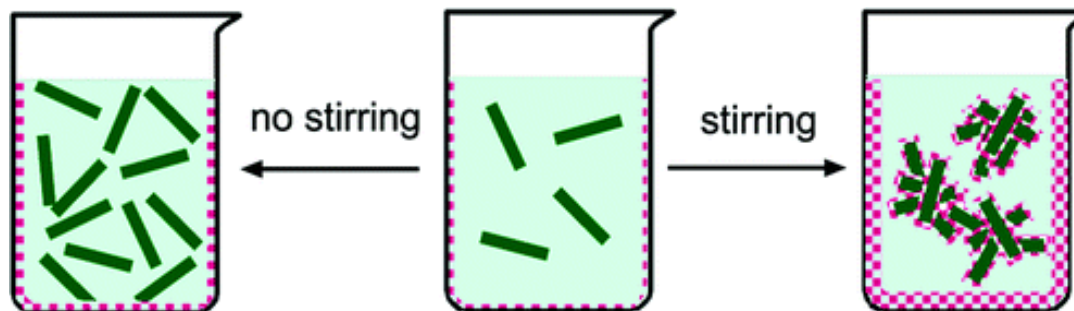


SEM slike nanovlakana PANI-emeraldin (HCl) sintetisanih metodom nanostrukturnog semena koristeći sledeće tipove semena: (A) 1.5 mg PANI emeraldin-HCl nanovlakana (SEM inset), (B) 1.6 mg HiPco **SWNT** (SEMinset), (C) 1.0 mg **heksapeptida** AcPHF6 (TEM inset), i (D) 4 mg **V<sub>2</sub>O<sub>5</sub>** nanovlakana (SEM image inset). Zhang, X.; Goux, W. J.; Manohar, S. K. J Am Chem Soc 2004, 126, 4502.

Prepostavljeno je da se **polimerizacija** najpre **dešava na površini nanofibrilarnog templata** čija se morfologija preslikava pri rastu polimernih PANI lanaca.

## 2.2. metode bez templa

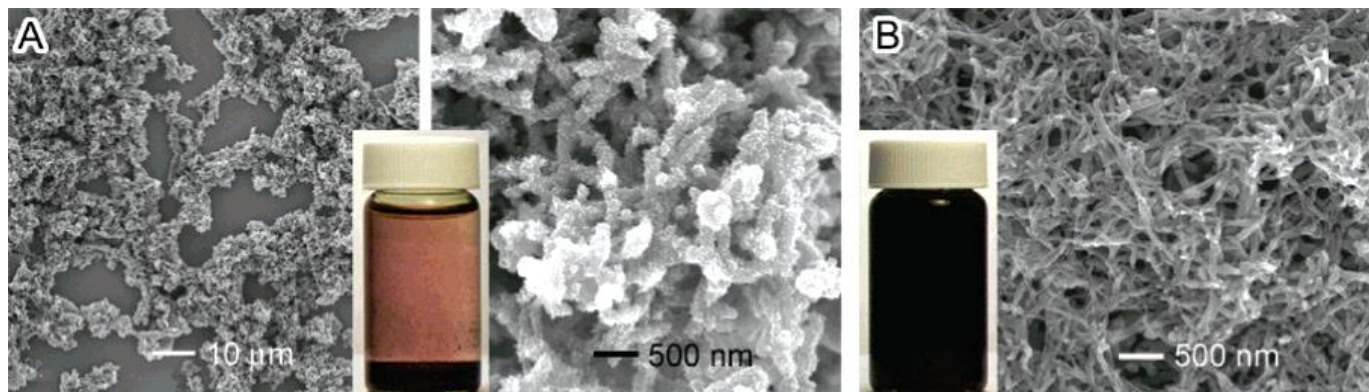
### Metoda bez mućkanja i mešanja ('Not shaken-not-stirred') dobijanja PANI nanovlakana



Shematska ilustracija formiranja i agregacije PANI čestica. Zeleno-PANI nanovlakna, ljubičasto- PANi čestice nastale heterogenom nukleacijom [Li, D.; Kaner, R. B. J. Am. Chem. Soc. 2006, 128, 968].

Smatra se da se tanka nanovlakna PANI prirodno formiraju u toku reakcije hemijske oksidativne polimerizacije anilina u vodenom rastvoru (jako kiselim), čim počne polimerizacija. Pošto su nanovlakna u kontaktu sa anilinom i APS, podložna su sekundarnom rastu. Hipoteza je bila da ako se sekundarni rast (aglomeracija) spreči na neki način, prinos PANI nanovlakana u krajnjem produktu biće značajno veći.

Prilikom mešanja, javlja se heterogena nukleacija na površinama čestica uključujući tačke kontakta čestica. Nukleusi u tačkama sudara imaju funkciju lepka na nanoskali koji povezuje čestice zajedno, što prouzrokuje **agregaciju** čestica. Dalji rast nukleusa i formiranje novih heteronukleusa na njihovim površinama pojačava aggregaciju. Suprotno, **u odsustvu mešanja, heterogena nukleacija je sprečena i nanovlakna se kontinualno proizvode i dobro su dispergovana.**

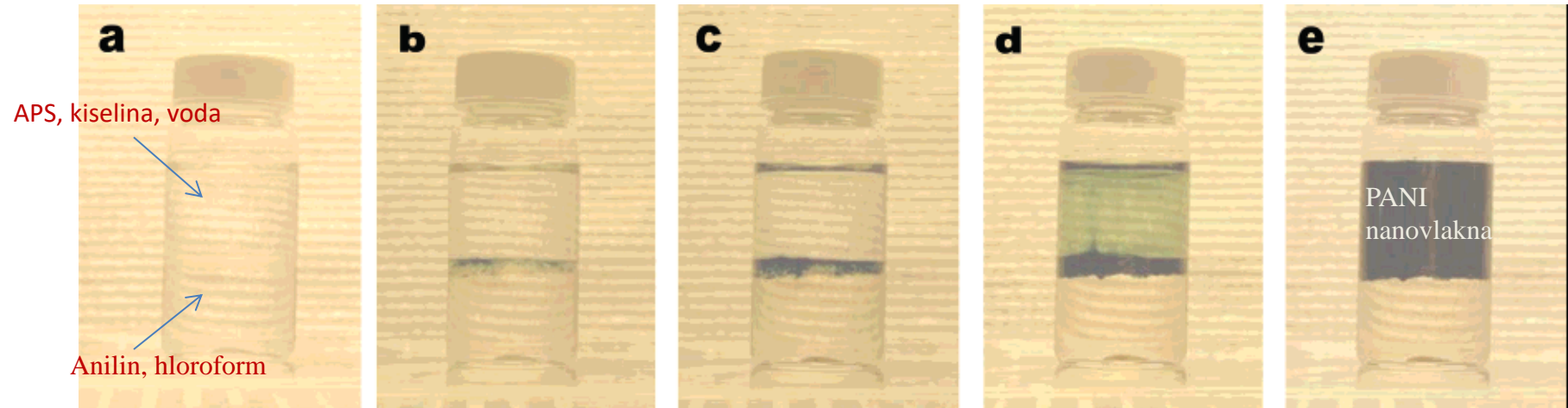


SEM images of PANI synthesized by reacting aniline in 1.0 M HCl with APS in 1.0 M HCl at 25 °C. (A) The APS solution was added dropwise into **the stirred** aniline solution (B) The APS solution was added dropwise into the aniline solution **without stirring**.  
[ Li, D.; Kaner, R. B. J. Am. Chem. Soc. 2006, 128, 968].

## Polimerizacija na granici vodene i organske faze (međufazna polimerizacija)

Za razliku od klasične homogene polimerizacije anilina, reakcija se dešava na granici dve nemešljive faze, organske faze (ugljen tetrahlorid, benzen, toluen) i vodene faze, da bi se sporedni proizvodi (neorganske soli, oligomeri) razdvojili prema njihovoj rastvorljivosti u organskoj i vodenoj fazi. PANI nanovlakna imaju dužine 500 nm do nekoliko mikrometara, prosečni prečnik 30-120 nm.

Nizak prinos sinteze (6-10 mas. %).



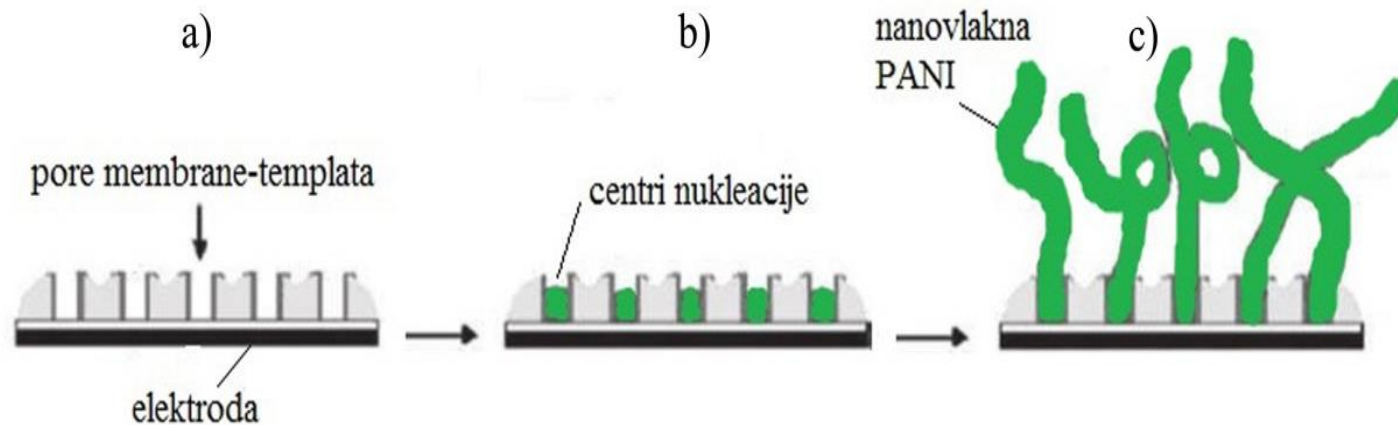
Snapshots showing interfacial polymerization of aniline in a water/chloroform system. From a to e, the reaction times are 0, 1.5, 2.5, 4, and 10 min, respectively. The top layer is an aqueous solution of 1.0 M perchloric acid and APS; the bottom layer is aniline dissolved in chloroform [Huang, J.; Kaner, R. B. J Am Chem Soc 2004, 126, 851].

### 3. Elektrohemijска oksidativna polimerizacija

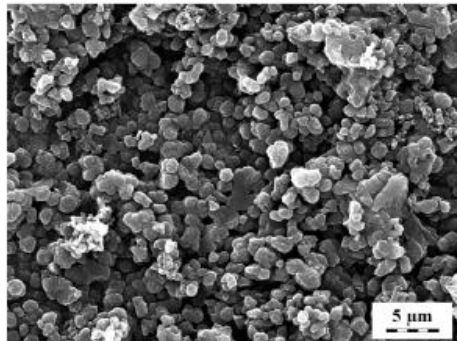
Elektrosinteza omogućava takođe dobijanje PANI nanovlakana ( i drugih nanostruktura). Rezultujuća vlakna su obično dobro orijentisana u jednom pravcu na elektrodnoj površini.

#### Elektrohemijске metode sa templatom

Primer formiranja *nanovlakana* elektroprovodnog polimera polianilina (PANI) elektrohemijskom sintezom na elektrodi prikazan je na slici ispod. Elektroda na koju je prethodno nanešen porozni templat uranja se u rastvor monomera anilina (slika a). Posle primene anodnog potencijala počinje oksidacija anilina i stvaranje prvih nukleacionih centara (oligomera) iz kojih počinje polimerizacija u porama templata (slika b). Rast polimera se zatim nastavlja i van pora i obrazuju se nanovlakna PANI ( c).



**Formiranje nanovlakana PANI elektrohemijskom metodom sa poroznim templatom.**



„standardni“ PANI granularne morfologije (SEM)

Neke **prednosti PANI nanovlakana** u odnosu na standardni-granularni PANI:

- **poboljšana disperzivnost** PANI nanovlakana u vodi i drugim rastvaračima u odnosu na granularni PANI
- **povećan kapacitet** (primene za superkondenzatore):
  - npr. specifična kapacitansa iznosi 122 F/g za PANI nanovlakna dobijena metodom semena, u odnosu na 33 F/g za nefibrilarni, granularni PANI [J. Am. Chem. Soc. 2004, 126, 4502];
  - za superkondenzator od kompozita PANI nanovlakana i ugljeničnih nanotuba dobijena je specifična kapacitansa ~600 F/g koja je bila stabilna pri cikliranju [J. Power Sources 171 (2007) 1062.] - nanoporozni kompozit velike specifične površine omogućavao je lak pristup elektrolitu.
- poboljšana antioksidativna svojstva** (posledica povećane specifične površine)
- kraće vreme odgovora i veća osetljivost filma PANI nanovlakana u senzorima** u odnosu na film od granularnog PANI (zbog veće efektivne površine i porozne strukture koja omogućava molekulima koji se detektuju da brže difunduju).

# Metode za dobijanje PANI nanotuba

## 1. Metode sa templatom

### 1.1. Tvrdi templati:

-hemijska i elektrohemijska oksidativna polimerizacija

#### 1.1.1. Nanoporzni tvrdi templati:

**-polikarbonatna nanoporzna membrana** (membrana može da razdvaja rastvor monomera anilina od rastvora oksidacionog sredstva, reakcija polimerizacije odigrava se u porama membrane; [Synth Met 1993, 55, 1165; Synth Met 2000, 113, 275 ])

**-nanoporzni anodni aluminijum oksid (AAO)** (Synth Met 2005, 152, 65.) (membrana se najpre uranja u rastvor anilina i HCl, zatim se dodaje rastvor APS, na kraju polimerizacije membrana sa PANI se izvlači iz reakcionog suda i ispira. AAO se uklanja rastvaranjem sa 6M NaOH. U elektrohemijskoj varijanti metode, AAO membrana se stavlja pomoću srebrne paste na Pt elektrodu. Vrši se elektroliza rastvora anilina u HCl (na 0,7 V vs. Ag/AgCl).

#### 1.1.2. Nanostruktturni tvrdi templati

-sulfonovane višeslojne ugljenične nanotube (MWNT), MWNT–(OSO<sub>3</sub>H)<sub>n</sub>  
-templati na bazi MnO<sub>2</sub>, templat ujedno ima i ulogu oksidacionog sredstva

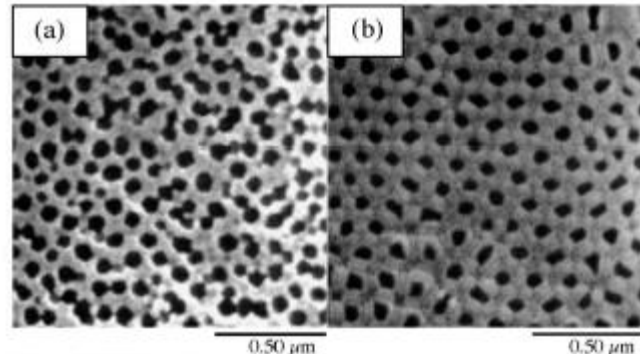


Figure 3. SEM photographs of self-made alumina membrane, (a) side in contact with solution, (b) side in contact with electrode.

Yang, S. M. et al. Synth Met 2005, 152, 65.

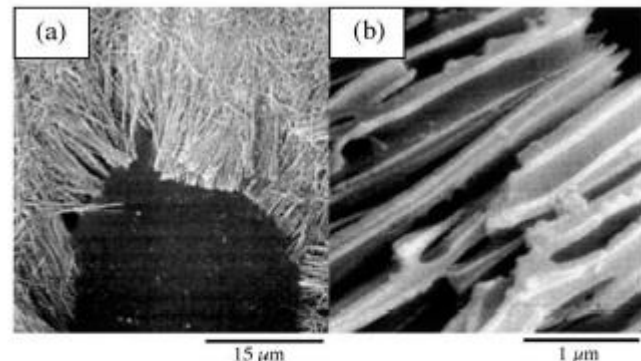


Figure 1. SEM photographs of polyaniline formed in 200 nm anodic alumina membrane by chemical method.

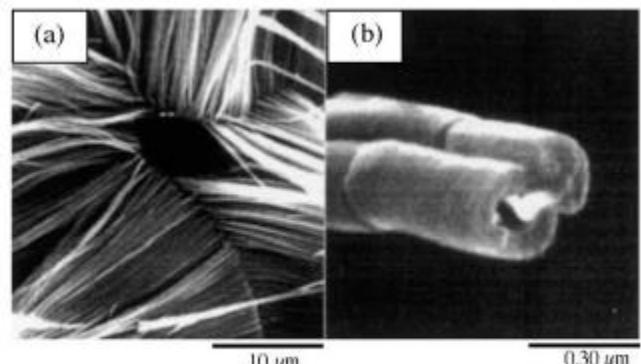


Figure 2. SEM photographs of polyaniline formed in 200 nm anodic alumina membrane by electrochemical method.

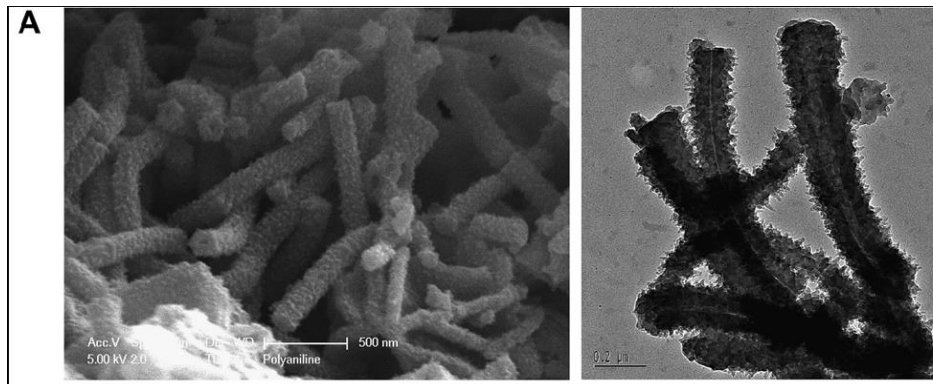
Yang, S. M. Synth Met 2005, 152, 65.

## PANI nanotube

### 1.2. Meki templati

-hemijska oksidativna polimerizacija

- **surfaktanti i amfifilne kiseline kao meki templati**: natrijum dodecilsulfat, natrijum dodecilbenzensulfonat,, **polimerne kiseline** [ poly(methyl vinyl ether-alt-maleic acid), poly(3-thiopheneacetic acid), poly(4-styrenesulfonic acid), poly(acrylic acid)], i **amfifilne kiseline**:  $\beta$ -naftalensulfonska,  $\alpha$ -naftalensulfonska kiselina, 1,5-naftalendisulfonska kiselina, azobenzensulfonska kiselina, kamforsulfonska kiselina, salicilna kiselina, stearinska kiselina, sirćetna kiselina, dikarboksilne kiseline, amino kiseline...
- Prema jednom od modela pretpostavljeno je da *cilindrične micele* soli anilina i amfifilnih kiselina diktiraju rast PANI nanotuba. Langmuir, 2002, 18, 917.



SEM (levo) i TEM (desno) slike PANI-nanotuba dobijenih iz rastvora koji sadrži poli(4-stirenesulfonsku kiselinu)  
J. Curr Appl Phys 2008, 8, 312

# PANI nanotube

## 2. Metode bez templa

### 2.1. Metod opadajućeg pH (Falling pH method)

PANI-NT se sintetišu oksidativnom polimerizacijom anilina sa APS u vodenom rastvoru, polazeći od  $\text{pH} > 4.0$  i završavajući sa  $\text{pH} < 2.0$ , u prisustvu neorganskih kiselina .

*Model micela: u odsustvu surfaktanta ili amfifilnih kiselina, miclele formirane od anilinijum katjona i neorganskih ili hidrofilnih organskih anjona prepostavljene su od strane Wan i saradnika kao meki templati [ Macromolecules 2002, 35, 5937.]*

*Model oligomera: suprotno modelu micela, prepostavlja se da samoorganizacija oligomera anilina diktira rast PANI NT pri sintezi metodom opadajućeg pH [Polym Int 2006, 55, 31; Nanotechnology 2008, 19, 135606].*

### 2.2. Metod bez dopanta i bez templa (Dopant- free template- free)

PANI-NTs se dobijaju oksidativnom polimerizacijom anilina sa APS u vodi bez dodatka kiseline. Metod je jednostavan jer smanjuje broj korišćenih reagenasa [ J Phys Chem B 2006, 110, 9461. ]

### 2.3. Polimerizacija na granici faza

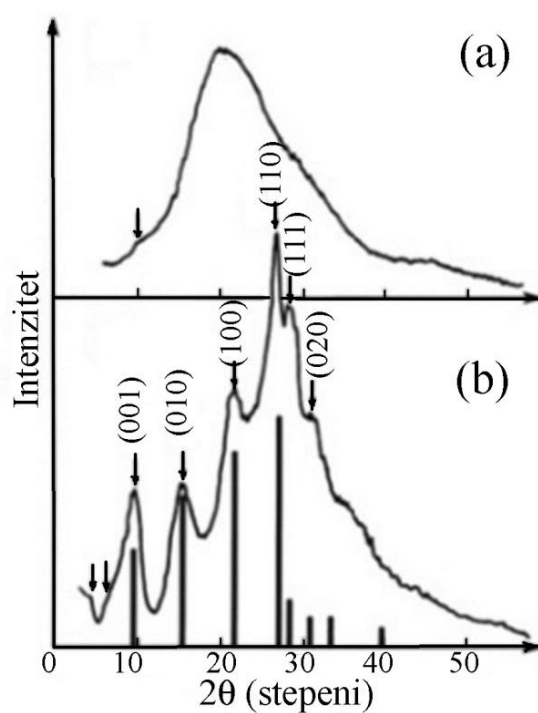
-rastvor anilina u toluenu / rastvor APS u vodenom rastvoru sirćetne kiseline [React Funct Polym 2007, 67, 476].

# Metoda difrakcije X zračenja (XRD)

## Primer: polimeri

**Metoda difrakcije X zračenja** se uobičajeno koristi za određivanje **stepena kristaliničnosti polimera**.

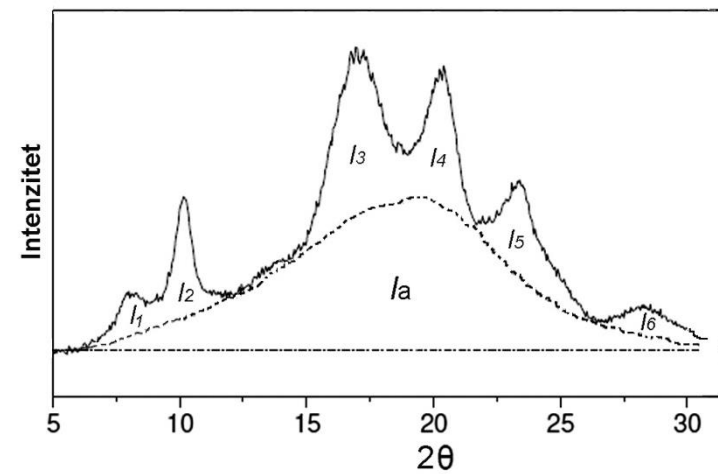
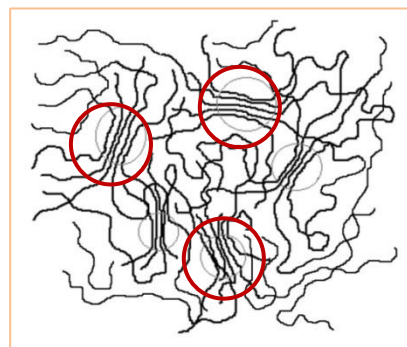
Stepen kristaliničnosti ( $W_k$ ) polimera se definiše kao **deo kristalne materije u delimično kristalnom (semikristalnom) polimeru**. Potpuno amorfne supstancije daju veoma široki maksimum, tzv. *amorfni halo*, u difraktogramu, dok potpuno kristalne supstancije daju oštре (Bragg-ove) pikove sa horizontalnom baznom linijom. Primer difraktograma skoro potpuno amorfног облика PANI prikazan je na slici a). U slučaju semikristalnog polimera, na amorfni halo nadovezuju se (superponiraju) oštре pikovi koji potiču od kristalnih regiona, slika b).



Stepen kristaliničnosti  $W_k$  polimera izračunava se deljenjem vrednosti površine pikova koji potiču od kristalne faze,  $I_k$  (integrisanog intenziteta iznad amorfног haloа, tj. intenziteta svetlosti rasejane na kristalnom delu polimera), sa ukupnom površinom ispod krive difraktograma (tj. sa ukupnim intenzitetom rasejane svetlosti)  $I_{tot}$ , prema jednačini:

$$W_k (\%) = \frac{I_k}{I_{tot}} \times 100 \%$$

$$W_k (\%) = \frac{I_{tot} - I_a}{I_{tot}} \times 100 \%$$



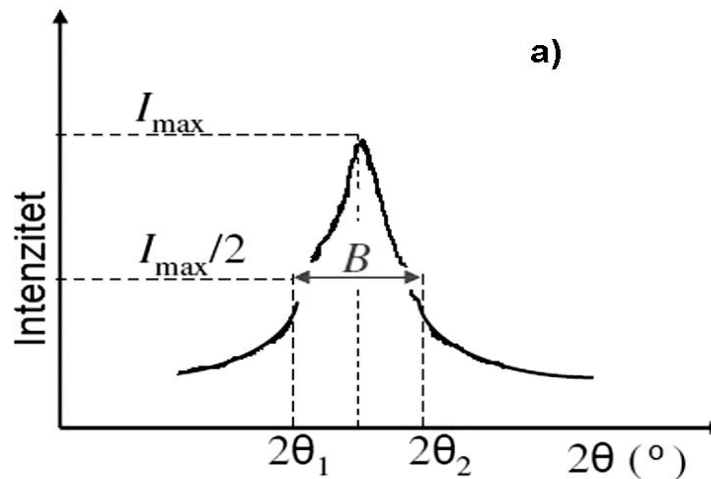
Određivanje stepena kristaliničnosti polimera na osnovu difraktograma:  $I_k$  je zbir površina šest oštih pikova kristalne faze,  $I_k = I_1 + I_2 + I_3 + I_4 + I_5 + I_6$ , dok je  $I_a$  površina dela difraktograma ispod isprekidane linije koja odgovara amorfnoj fazi. Bazna linija obeležena je sa  $- \bullet - \bullet -$ .

Veličina kristalita  $L_{hkl}$  u polimeru određuje se Scherrer-ovom formulom:

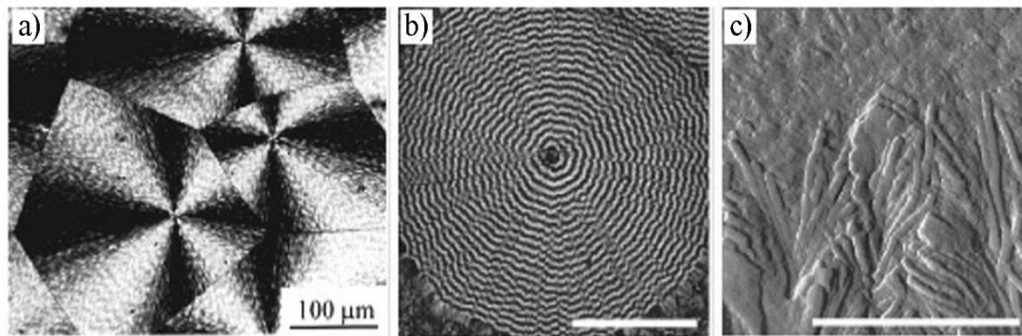
$$L_{hkl} = \frac{K \lambda}{\beta \cos \theta}$$

gde je  $L_{hkl}$  dimenzija kristalita (u angstremima) duž pravca normalnog na kristalografsku ravan  $hkl$ ,  $\beta$  je tzv. polu-širina pika (tj. širina pika na polovini visine pika, slika ispod) koja se odnosi na kristalografsku ravan  $hkl$ ,  $K$  je konstanta (obično iznosi 0,89),  $\theta$  je ugao difrakcije za  $hkl$  ravan, a  $\lambda$  je korišćena talasna dužina X zračenja (vrlo često je to  $\lambda_{\text{CuK}\alpha} = 1,5418 \times 10^{-10} \text{ m}$ ).

Polu-širina pika  $\beta$  je posledica širenja pika usled dimenzija kristalita i određuje se tako što se od poluširine pika  $B$  određene sa difraktograma (slika ispod) oduzima širenje pika  $b$  usled instrumentalnih efekata,  $\beta = B - b$ . Manja polu-širina pika odgovara većim kristalitima i obrnuto.

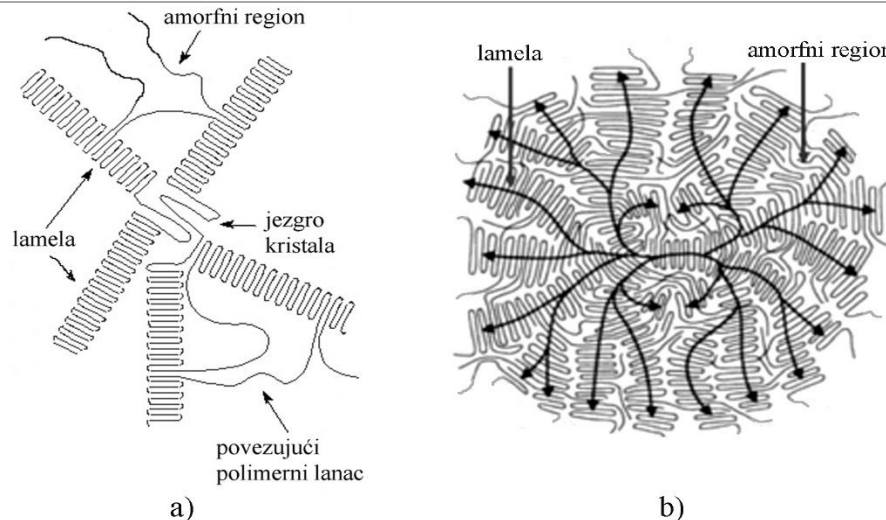


Određivanje polu-širine pika  $B$  (tj. širine pika na polovini visine pika  $I_{\max}/2$ ),  $B = 2\theta_2 - 2\theta_1$



Slike a) **sferulita** poli(trimetilen tereftalata) iskristalisanog iz rastopa na temperaturi kristalizacije od  $205\text{ }^{\circ}\text{C}$  (uzorak sa slike 39 b) i b) prstenastih sferulita poli(viniliden fluorida) dobijene **optičkim mikroskopom sa polarizovanom svetlošću**. Na slici c) prikazana je **AFM** slika fronta rasta sferulita polibutena. Slike su preuzete sa dozvolom iz a) *Macromolecules* 33 (2000) 7529, b) i c) iz *Polymer* 49 (2008)1685.

Sferuliti su kristaliti polimera sferne simetrije izgradjeni od lamela kod kojih rast počinje od mikrokristalnog jezgra. Lamela se formira samoorganizacijom naboranih polimernih lanaca, slika ispod.

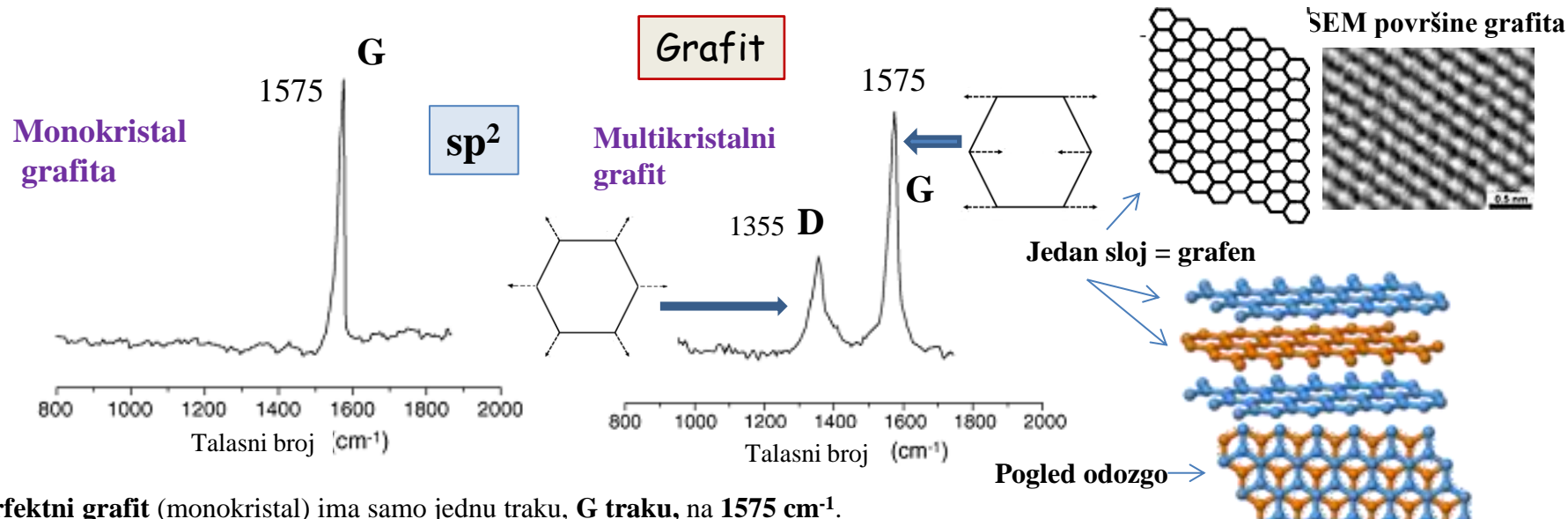


Shematski prikaz formiranja sferulita: a) početni rast sferulita iz mikrokristalnog jezgra, b) kasnija faza rasta sferulita (pravci rasta lamela označeni su strelicama).

# Ramanska spektroskopija

## Primer: ugljenični materijali

Ramanska spektroskopija je nezamenljiva nedestruktivna metoda u karakterizaciji različitih ugljeničnih materijala: u **razlikovanju tipova veze ( $sp^2$ ,  $sp^3$ ...)**, u **razlikovanju amorfnih od kristalnih** ugljeničnih materijala, određivanju **stepena uređenosti**, proučavanju različitih **nehomogenosti/defekata i dopiranja** (npr. heteroatomima, N, O, P, B i drugih koji se kovalentno ugrađuju u ugljeničnu rešetku), u **karakterizaciji pojedinih supramolekulskih struktura** (ugljeničnih nanotuba CNT, grafena, grafen oksida), **određivanju veličine kristalita**, itd. Posebna prednost ove metode je što zahteva **malu količinu uzorka**.



Perfektni grafit (monokristal) ima samo jednu traku, **G traku**, na **1575 cm<sup>-1</sup>**.

Kod multikristalnog (komercijalnog) grafta pojavljuje se i dodatna traka – **D traka** (D od ‘disorder’) na **1355 cm<sup>-1</sup>** kao posledica pojave neuredjenosti/defekata i rušenja simetrije. Sve vrste amorfnih ugljeničnih materijala pokazuju **G i D traku**.

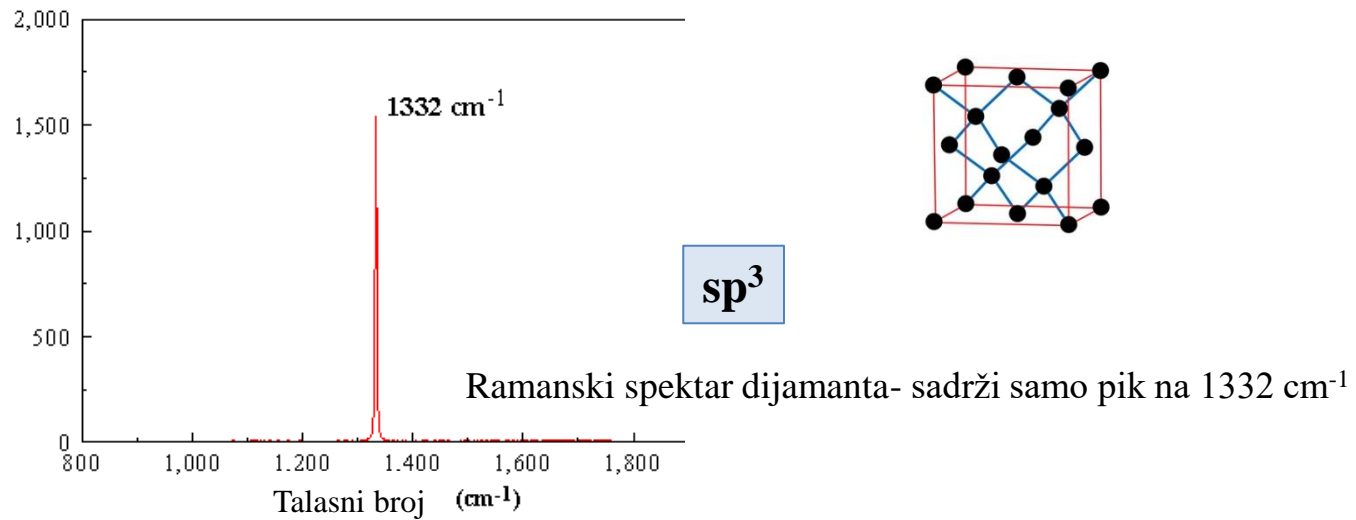
Amorfni ugljenični materijali predstavljaju smeše  $sp^3$ ,  $sp^2$ , pa čak i  $sp^1$  mesta (C atoma), sa mogućim prisustvom H i N atoma.

**G traka** - istežuće vibracije veza parova  $sp^2$  atoma ugljenika u grafitnoj strukturi; u zavisnosti od tipa ugljeničnog materijala nalazi se u oblasti 1500-1630 cm<sup>-1</sup> i odgovara modu E2g simetrije u grafitu.

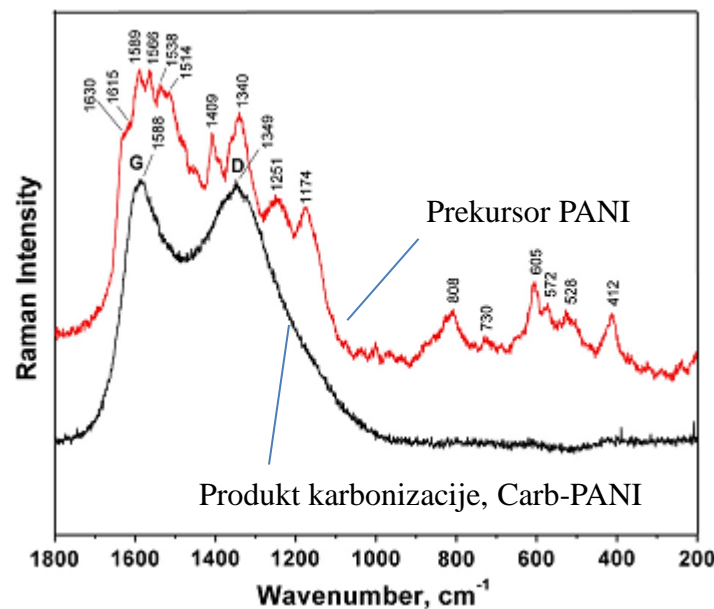
**D traka** – dišuće (breathing) vibracije  $sp^2$  atoma u aromatičnim prstenovima,  $A_{1g}$  simetrije (zabranjen mod u perfektnom grafitu, postaje aktivan u prisustvu defekata, neuredjenosti; pretpostavlja se da potiče od C atoma iz grafenskih ravni koji su susedni defektu (heteroatomu ili ivici grafenskog sloja). Ugljenični materijali sa izvesnim stepenom neuredjenosti pokazuju D pik u oblasti 1300-1370 cm<sup>-1</sup>.

Vrednost odnosa intenziteta D i G pika,  $I_D/I_G$ , daje meru neuredjenosti-defekata u ugljeničnom materijalu.

## Dijamant

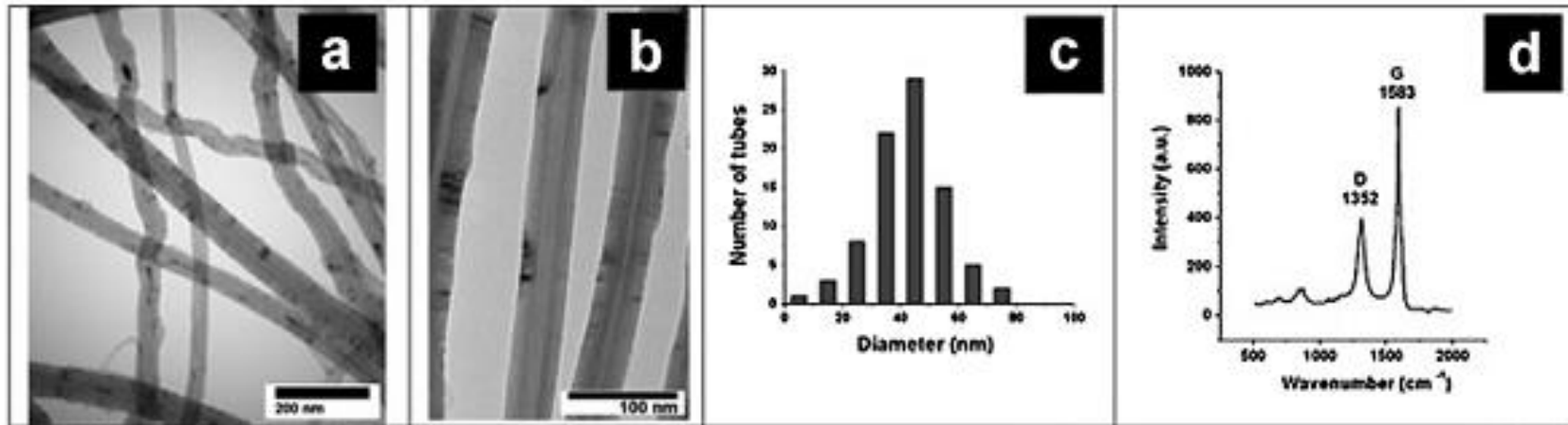


## Raman spektroskopija za potvrdu potpune karbonizacije prekursora



## Ugljenične nanotube (CNT)

Ramanska spektroskopija omogućava određivanje svojstava uzorka CNT pa i pojedinačnih ugljeničnih nanotuba (n,m indeksa, prečnika, hiralnosti...) čak i ako uzorak sadrži snopove nanotuba.



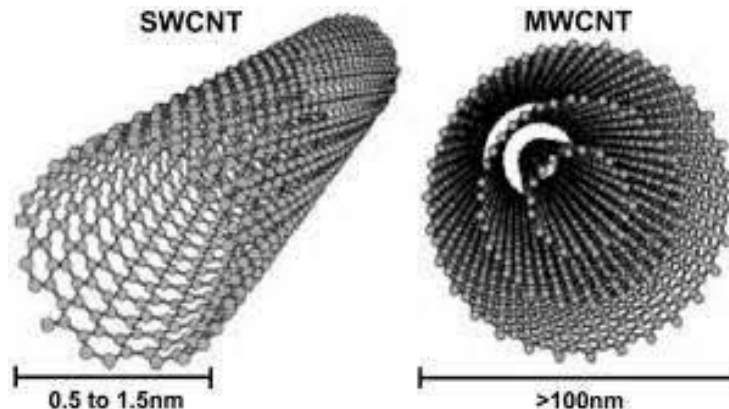
TEM slike CNTs

Raspodela prečnika nanotuba

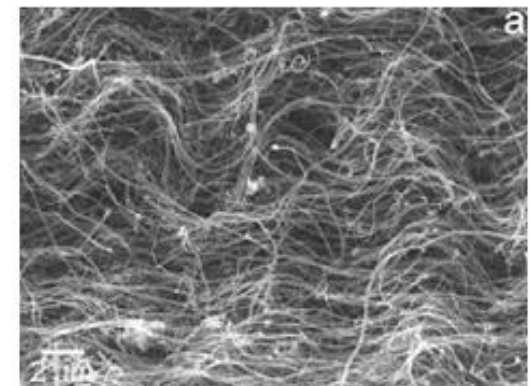
. Appl Surf Sci 2012;258:4563–8.

Raman spektar CNTs

SWCNT- jednoslojne CNT  
MWCNT- višeslojne CNT



SEM slika CNT



Carbon 2009;47:30–7.

Pored pomenutih, važne fizičkohemijske metode u karakterizaciji materijala su:

- **FTIR i NMR spektroskopija** (molekulska struktura)
- **Metode za određivanje molarnih masa** (npr. gel-propusna hromatografija, rasejanje svetlosti)
- **Elektrohemijске metode** (ciklovoltametrija-ispitivanje redoks aktivnosti, metoda elektrohemijске impedansne spektroskopije)
- **Metode sorpcije gasova** ( $N_2$ ) za određivanje teksturalnih svojstava (specifične površine  $S_{BET}$ , veličine i zapremine pora...)

i druge.

## PITANJA za savladavanje gradiva

1. Kod metode *rendgenske fotoelektronske spektroskopije (XPS)* detektuju se fotoelektroni. Veza kinetičke energije izbačenih fotoelektrona i energije veze elektrona u atomu elementa ispitivanog materijala kod ove metode data je formulom

- a)  $E_k = h\nu - (E_B + \phi)$
- b)  $E_k = h\nu + (E_B - \phi)$
- c)  $E_k = h\nu(E_B + \phi)$

Zaokružiti tačan odgovor i navesti značenja veličina u formuli.

2. Koje informacije o materijalu se mogu dobiti metodom *rendgenske fotoelektronske spektroskopije (XPS)* ?

3. Identifikacija različitih funkcionalnih grupa koje sadrže dati element, odnosno određivanje hemijskog stanja pojedinog elementa u ispitivanom materijalu, metodom XPS, bazirano je na

- a) zavisnosti broja emitovanih fotoelektrona od njihovog hemijskog okruženja
- b) osetljivosti energije veze elektrona date ljuške na njihovo hemijsko okruženje
- c) zavisnosti energije veze elektrona od energije upadnih fotona

Zaokružiti tačan odgovor.

4. Metodom XPS određuje se elementarni sastav u površinskom sloju materijala debljine do ..... nm.

Dopuniti rečenicu.

5. Karakteristično za jednodimenzione (1-D) nanostrukture (nanočestice) je:

- a) dve dimenzije čestice su na nanoskali (manje od 100 nm) dok je treća dimenzija veća, izvan nanoskale.
- b) jedna dimenzija čestice je na nanoskali (manje od 100 nm) dok su dve dimenzije veće, izvan nanoskale
- c) sve tri dimenzije čestice su na nanoskali (manje od 100 nm)

Zaokružiti tačan odgovor.

6. U jednodimenzione (1-D) nanostrukture (nanočestice) spada

- a) nanolist
- b) nanotuba
- c) puna nanosfera

Zaokružiti tačan odgovor.

7. Koje porednosti vezano za primene pokazuju nanočesticni (nanostruktturni) materijali u odnosu na materijale sa većim česticama (koji nisu nanočestični)?
8. Napisati formulu po kojoj se određuje stepen kristaliničnosti semikristalnog materijala (polimera) metodom difrakcije X zračenja, navesti značenja veličina u formuli i ukratko objasniti postupak određivanja.
9. Koje informacije o materijalu daju metoda skenirajuće elektronske mikroskopije (SEM) i metoda transmisione elektronske mikroskopije (TEM)? Koja je glavna prednost TEM u odnosu na SEM?
10. Šta se podrazumeva pod pojmom templat u metodologiji dobijanja nanočestica polimernih materijala? Navesti glavne tipove templata.
11. Navesti primere mekih i tvrdih template kod dobijanja nanovlakana i nanotuba konjugovanih (provodnih) polimera.
12. Ukratko opisati metodologiju dobijanja nanostruktura polimera uz korišćenje nanostruktturnog semena kao template.
13. Ukratko opisati metodologiju dobijanja nanostruktura provodnog polimera uz koriscenje tvrdog nanoporoznog template elektrohemijском методом.
14. Koje informacije o elektroprovodnom polimeru se mogu dobiti metodom UV-Vis spektroskopije?
15. Koji podaci o ugljeničnim materijalima se mogu dobiti ramanskom spektroskopijom?